# РАСЧЕТ СТРУКТУРЫ ПОЛЯЛАЗЕРНОГО ИЗЛУЧЕНИЯ РАЗЛИЧНЫХ ПОЛЯРИЗАЦИЙ В ФОКАЛЬНОЙ ОБЛАСТИИ ДЕАЛЬНОЙ ФОКУСИРУЮЩЕЙ ЛИНЗЫ МЕТОДАМИ СКАЛЯРНОЙ ТЕОРИИ ДИФРАКЦИИ

Ю.В. Крыленко, Ю.А. Михайлов, А.С. Орехов, Г.В. Склизков, А.М. Чекмарев

Физический институт им. П.Н. Лебедева РАН (ФИАН)

# Введение

Фазово-пространственная структура электромагнитного поля в фокальной области линзы имеет важное значение для многих областей физики, в том числе для лазерного термоядерного синтеза. Например, при решении проблемы равномерности абляционного давления на мишени [1,2], что весьма важно для достижения высокой степени сжатия лазерных термоядерных мишеней, для исследования возможностей и эффективности стохастического ускорения электронов в плазме [3,4]. Возможность расчета структуры поля лазерного излучения на поверхности мишени и корреляции этого поля с экспериментальными данными имеет принципиальное значение при экспериментальной реализации ряда диагностических методик исследования плазмы, в частности, методики, основанной на рассеянии высокоэнергичных электронов на спонтанных магнитных полях в плазме [5].

Анализу фазово-пространственной структуры электромагнитного поля в фокальной плоскости линзы посвящено много работ (см., например, [6-8]). Однако специфика конкретной решаемой задачи требует специального рассмотрения. Вывод основных формул расчета поля вблизи фокуса идеальной линзы методом интеграла Дебая для линейно поляризованного излучения дан в [6], где так же показаны пределы применимости метода. Условия применимости метода Кирхгофа указаны в [9].

В данной работе сделан расчет поля вблизи фокуса идеальной линзы двумя методами для различно поляризованного излучения (линейно, радиально и азимутально). Выведены аналитические формулы для напряженности поля вблизи фокуса радиально и азимутально поляризованного излучения при расчете по методу Дебая. Для описания поворота вектора напряженности при преломлении идеальной линзой используется метод кватернионов. Проведено сравнение двух методов (Дебая и Кирхгофа) по результатам расчета и быстродействию.

## Постановка задачи

На линзу диаметром 4 см и фокусом 10 см падает излучение от импульсного Nd-лазера (длина волны  $\lambda = 1,06$  мкм). Рассчитать методом дифракционных интегралов распределение интенсивности вблизи фокальной плоскости двумя способами — методом интеграла Кирхгофа и методом приближения Дебая. Сравнить результаты расчета с экспериментальными данными.

## Метод Кирхгофа

Рассмотрим кратко данный метод расчета дифрагирующих полей (вывод, скалярный характер, допущения и область применимости).

Пусть на идеальную линзу падает плоская монохроматическая волна:

$$u(\vec{r},t) = u_0 \cdot e^{-i \cdot (\omega \cdot t - \vec{k} \cdot \vec{r})}$$
 (1)

Идеальная линза, по определению, преобразует плоский волновой фронт падающей на нее волны в сферический. Введем две системы координат как показано на (рис. 1).

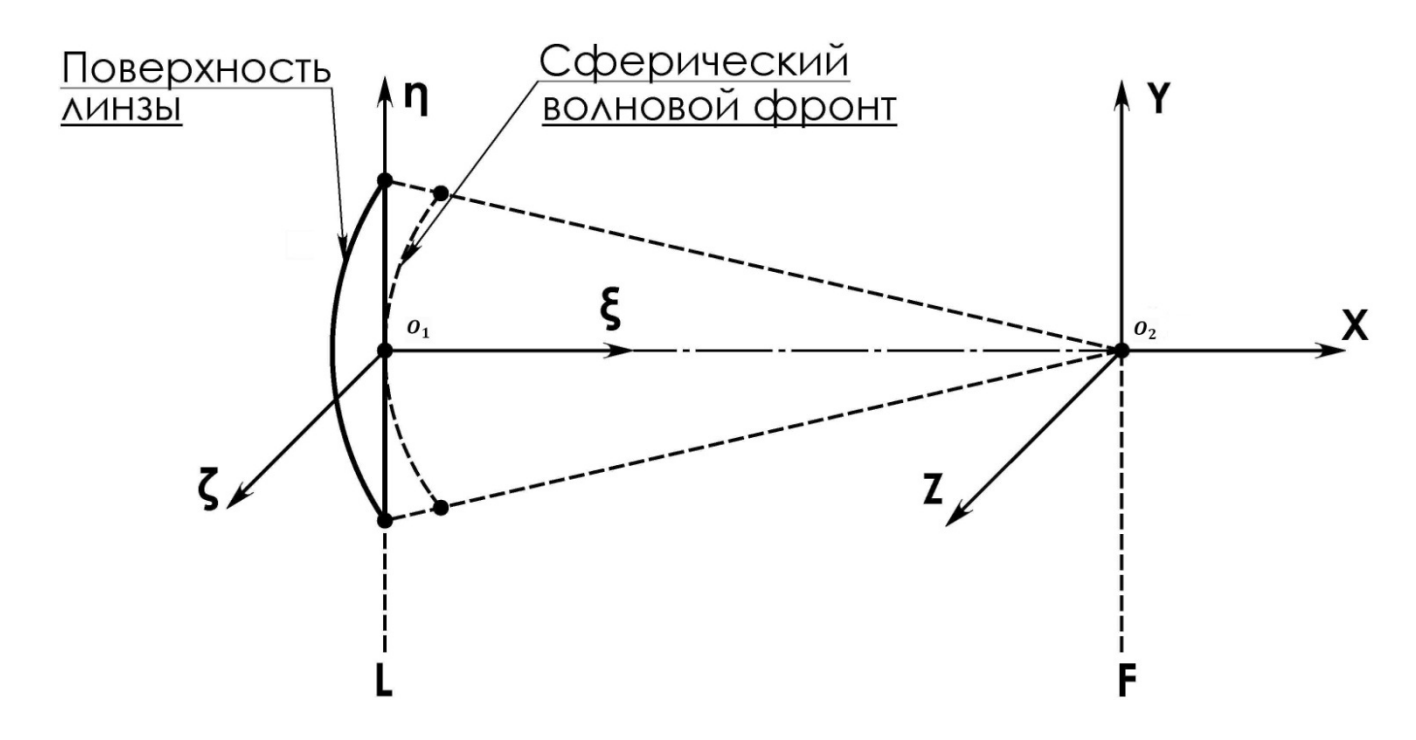


Рис. 1. XYZ: начало  $O_2$  расположено в фокусе линзы, ось  $O_2X$  совпадает с оптической осью.  $\xi\eta\zeta$ : ось  $O_1\xi$  совпадает с оптической осью,  $O_1O_2=F$  (фокусному расстоянию линзы). Источники вторичных сферических волн расположены на волновом фронте за линзой (см. рис. 2)

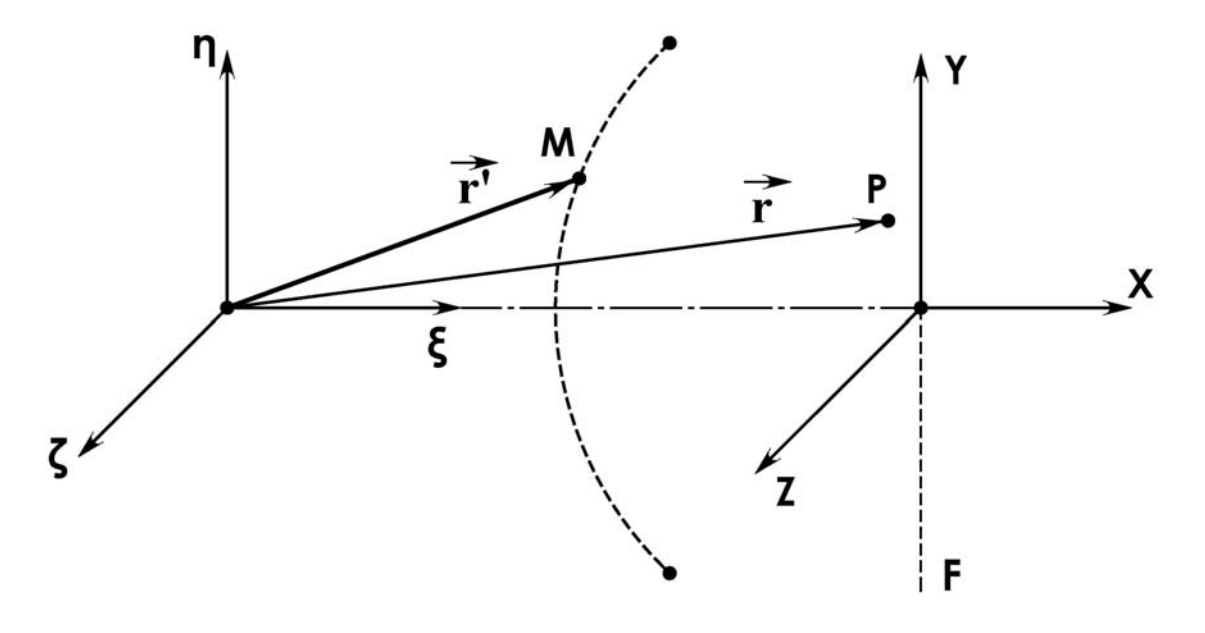


Рис. 2. Расположение источников вторичных сферических волн на волновом фронте: M – точка на волновом фронте (источник вторичных волн); P – точка, в которой рассчитывается поле

$$\begin{cases}
\Delta u + k^{2} \cdot u = 0 \\
\Delta G + k^{2} \cdot G = -4\pi \cdot \delta(\vec{r} - \vec{r}^{*})
\end{cases}$$

$$G(\vec{r}, \vec{r}^{*}) = \frac{e^{i \cdot \vec{k} \cdot (\vec{r} - \vec{r}^{*})}}{|\vec{r} - \vec{r}^{*}|}$$
(2)

Используя вторую теорему Грина:

$$\oint_{S} (f \cdot \nabla \varphi - \varphi \cdot \nabla f) \, d\vec{S}^* = \int_{V} (f \cdot \Delta \varphi - \varphi \cdot \Delta f) dV^* \tag{3}$$

Берем  $f = u(\vec{r})$  и  $\varphi = G(\vec{r}, \vec{r}^*)$ ; с учетом уравнений (1), (2), получаем:

$$u(\vec{r}) = \frac{1}{4\pi} \cdot \oint_{S} \left( G(\vec{r}, \vec{r}^*) \cdot \nabla u(\vec{r}^*) - u(\vec{r}^*) \cdot \nabla G(\vec{r}, \vec{r}^*) \right) d\vec{S}^* \tag{4}$$

После некоторых математических упрощений (см. приложение В), из (4) получаем окончательную расчетную формулу (см. поясняющие рис. 2 и рис. 3):

$$E_{\alpha}(P) = \frac{i}{\lambda} \cdot \int_{\Sigma} E_{\alpha}(M) \cdot \frac{e^{-i \cdot k \cdot |\vec{r} - \vec{r}^{*}|}}{|\vec{r} - \vec{r}^{*}|} \cdot \frac{(1 + \cos \varphi)}{2} d\sigma$$
 (5)

$$(\alpha = x, y, z)$$

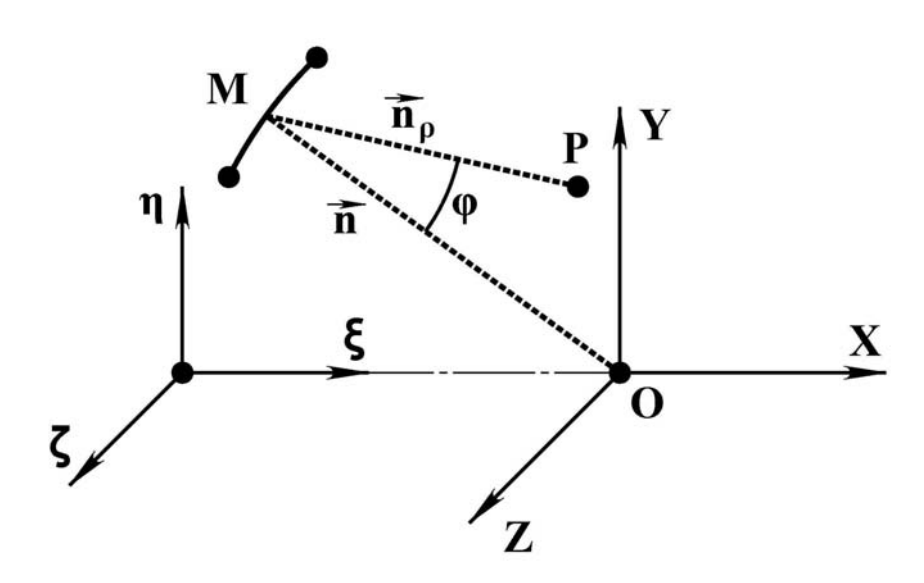


Рис. 3 Пояснения к методу Кирхгофа:  $\vec{n}$  — нормаль к волновому фронту в точке M, P — точка, в которой определяется амплитуда поля,  $\vec{n}_{\rho} = \frac{\overrightarrow{MP}}{|\overrightarrow{MP}|}$ 

Расчет проводится для каждой компоненты отдельно, в результате получим результирую-

щий вектор поля 
$$\vec{E}(P) = \begin{pmatrix} E_\chi(P) \\ E_y(P) \\ E_Z(P) \end{pmatrix}$$
.

Для расчета результирующего поля по формуле (5) необходимо знать ориентацию вектора  $\vec{E}(M)$  после преломления линзой. Задача преломления поляризованного света на сферической поверхности является идейно простой, но математически — громоздкой. Под этой задачей понимается следующее (пояснения приводятся для линейно поляризованного падающего излучения):

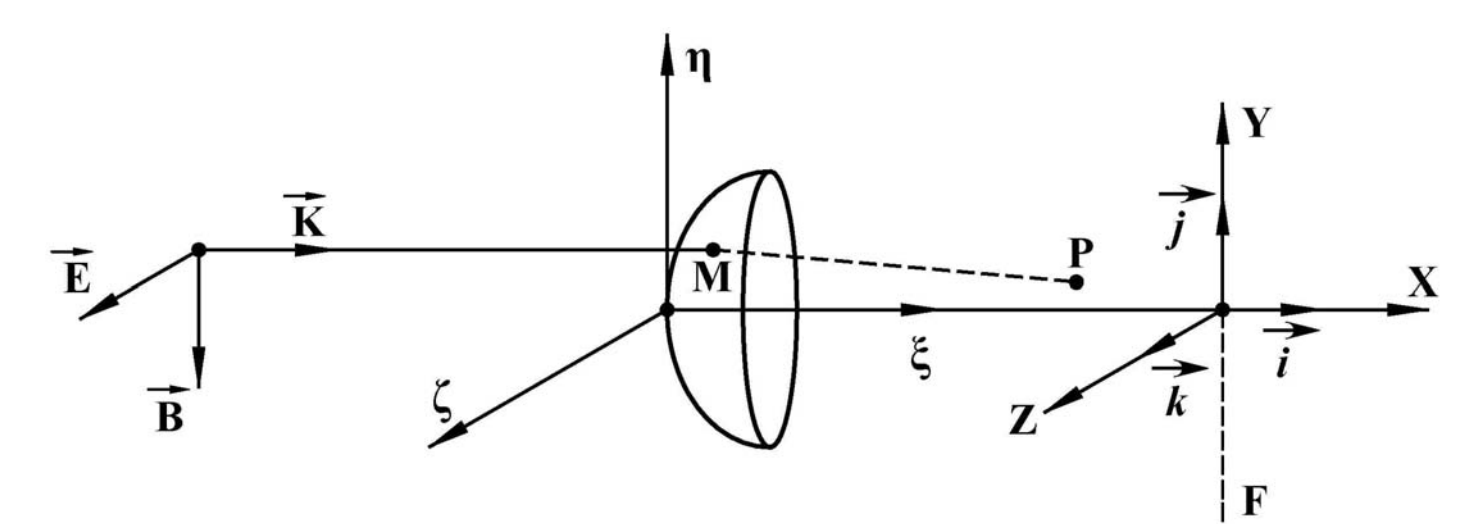


Рис. 4. Преломление света фокусирующей линзой

На линзу падает линейно поляризованная электромагнитная волна:

$$\vec{E} = \begin{pmatrix} E_{\xi} = 0 \\ E_{\eta} = 0 \\ E_{\zeta} = E_{0} \end{pmatrix} \qquad \qquad \vec{B} = \begin{pmatrix} B_{\xi} = 0 \\ B_{\eta} = -B_{0} \\ B_{\zeta} = 0 \end{pmatrix} \tag{6}$$

Цель — вычислить проекции векторов  $\vec{E}$  и  $\vec{B}$  преломленной волны.

Пусть F — фокус линзы, P — точка, в которой определяется поле, M — точка на волновом фронте непосредственно за линзой.

Тогда в точке M плоскость, содержащая векторы  $\vec{E}$  и  $\vec{B}$  падающей волны повернется вокруг оси

$$\vec{e} = \frac{\vec{k} \times \frac{\overrightarrow{MP}}{\overrightarrow{MP}}}{\left| \vec{k} \times \frac{\overrightarrow{MP}}{\overrightarrow{MP}} \right|} \tag{7}$$

на угол

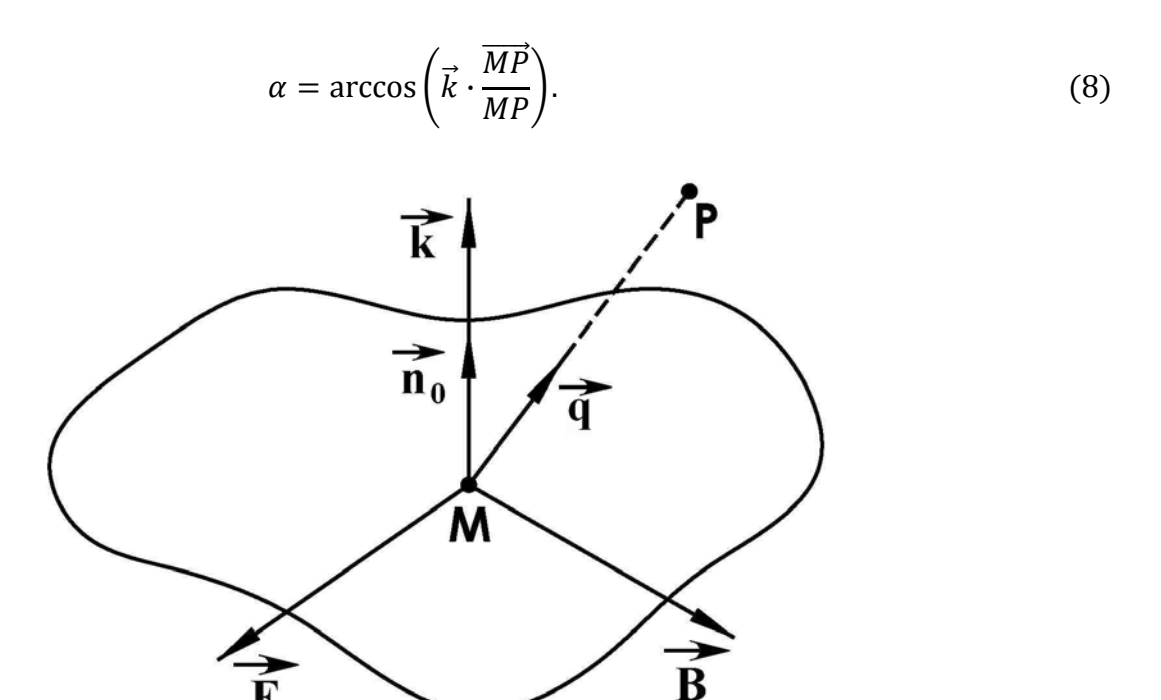


Рис. 5. Пояснения к преломлению векторов  $\vec{E}$  и  $\vec{B}$ 

Преобразование базиса при поворотах его как твердого тела вокруг заданной оси  $\vec{e}$  на определенный угол  $\alpha$  изящнее всего описывать кватернионами. Ниже приводится их краткое описание.

Кватернион — это гиперкомплексное число, элемент четырехмерного векторного пространства над полем вещественных чисел.

$$\Lambda = \lambda_0 i_0 + \lambda_1 i_1 + \lambda_2 i_2 + \lambda_3 i_3,$$

где  $i_k$  ( $k=\overline{0,3}$ ) — какой-либо базис;  $\lambda_k$  ( $k=\overline{0,3}$ ) — координаты вектора  $\Lambda$  в заданном базисе.

Геометро – числовая интерпретация:

$$i_0 = 1;$$

 $i_k \ (k = \overline{1,\!3})$  — орты некоторого базиса трехмерного евклидового пространства.

Таким образом,

$$\Lambda = \lambda_0 + \lambda_1 i_1 + \lambda_2 i_2 + \lambda_3 i_3 = \lambda_0 + \vec{\lambda}.$$

Для кватернионов определяют следующие операции (знак «\*» означает кватернионное умножение, определение см. ниже):

1. 
$$(\Lambda * M) * N = \Lambda * (M * N);$$

2. 
$$(\Lambda + M) * (N + R) = \Lambda * N + M * N + \Lambda * R + M * R$$
;

3.  $(\lambda \Lambda) * (\mu M) = \lambda \mu \Lambda * M (\lambda, \mu$  — действительные числа).

Операция умножения не коммутативна:

$$\Lambda * M \neq M * \Lambda$$
.

В случае геометро – числовой интерпретации определяют:

$$\vec{\iota}_k * \vec{\iota}_k = -1;$$
 
$$\vec{\iota}_k * \vec{\iota}_l = \vec{\iota}_k \times \vec{\iota}_l, \qquad (k \neq l).$$

 $\Lambda = \lambda_0 + \vec{\lambda};$ 

Тогда

$$\mathbf{M} = \mu_0 + \vec{\mu};$$

$$\Lambda * \mathbf{M} = \lambda_0 \mu_0 - \vec{\lambda} \cdot \vec{\mu} + \lambda_0 \vec{\mu} + \mu_0 \vec{\lambda} + \vec{\lambda} \times \vec{\mu};$$
(9)

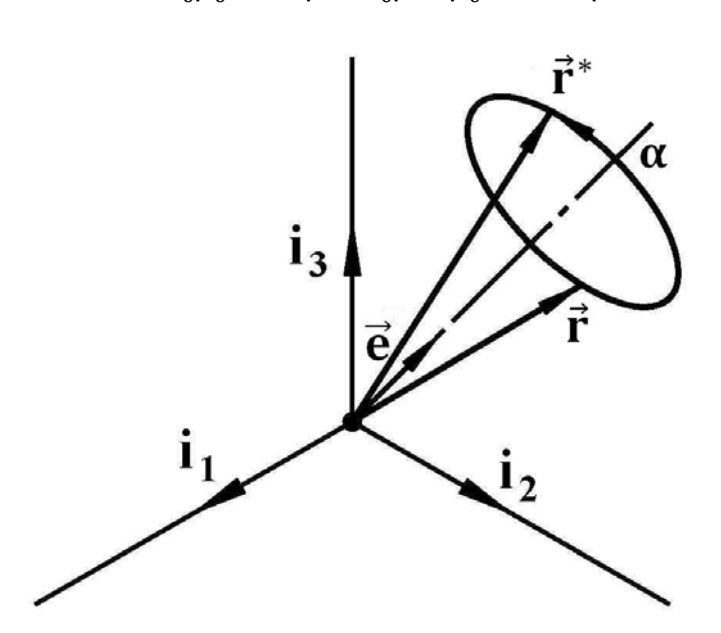


Рис. 6. Поворот вектора  $\vec{r}$  вокруг оси  $\vec{e}$  на угол  $\alpha$ 

Пусть вектор  $\vec{r}$  поворачивается вокруг оси, заданной единичным вектором  $\vec{e}$  на угол  $\alpha$ . Требуется вычислить проекции вектора  $\vec{r}^*$ .

Вот как изящно это получается с помощью кватернионов:

$$\vec{r}^* = \Lambda * \vec{r} * \overline{\Lambda},\tag{10}$$

где  $\Lambda = cos\frac{\alpha}{2} + sin\frac{\alpha}{2} \cdot \vec{e}$  и  $\bar{\Lambda} = cos\frac{\alpha}{2} - sin\frac{\alpha}{2} \cdot \vec{e}$ ,  $\bar{\Lambda}$  называется сопряженным кватернионом.

Выполняя в формуле (10) кватернионное умножение, получим окончательную формулу для вектора  $\vec{r}^*$ .

$$\vec{r}^* = (\sin^2 \frac{\alpha}{2}) \cdot (\vec{e} \cdot \vec{r}) \cdot \vec{e} + (\cos^2 \frac{\alpha}{2}) \cdot \vec{r} + (\sin\alpha) \cdot (\vec{e} \times \vec{r}) + (\sin^2 \frac{\alpha}{2}) \cdot (\vec{e} \times (\vec{e} \times \vec{r})). \tag{11}$$

Приведем простейший пример.

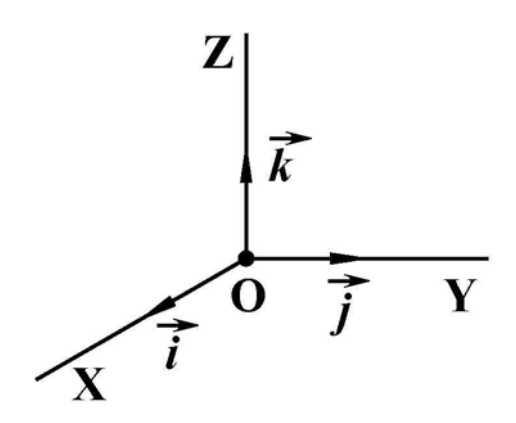


Рис. 7. Простейший пример применения кватернионов

Пусть новый базис ( $\vec{t}^*$ ,  $\vec{j}^*$ ,  $\vec{k}^*$ ) получается из старого ( $\vec{t}$ ,  $\vec{j}$ ,  $\vec{k}$ ) поворотом вокруг оси  $\vec{t}$  на угол  $\frac{\pi}{2}$ . Вычислим с помощью аппарата кватернионов, какие проекции имеет орт  $\vec{j}^*$  повернутого базиса в старом, неподвижном (ответ очевиден сразу:  $\vec{j}^* = \vec{k}$ ).

Кватернион поворота в данном случае имеет вид  $\Lambda = \cos\left(\frac{\alpha}{2}\right) + \sin\left(\frac{\alpha}{2}\right) \cdot \vec{\iota}$ , где угол поворота  $\alpha = \frac{\pi}{2}$ .  $\vec{J}^* = \Lambda * \vec{J} * \overline{\Lambda}$ 

Используя формулу (9), находим произведения сомножителей:

$$\Lambda * \vec{j} = -\sin\left(\frac{\alpha}{2}\right) \cdot \vec{i} \cdot \vec{j} + \cos\left(\frac{\alpha}{2}\right) \cdot \vec{j} + \sin\left(\frac{\alpha}{2}\right) \cdot (\vec{i} \times \vec{j}) = \cos\left(\frac{\alpha}{2}\right) \cdot \vec{j} + \sin\left(\frac{\alpha}{2}\right) \cdot \vec{k}$$

$$(\Lambda * \vec{j}) * \overline{\Lambda} = \left(\cos\left(\frac{\alpha}{2}\right) \cdot \vec{j} + \sin\left(\frac{\alpha}{2}\right) \cdot \vec{k}\right) \cdot \left(\cos\left(\frac{\alpha}{2}\right) - \sin\left(\frac{\alpha}{2}\right) \cdot \vec{i}\right) =$$

$$= -\left(\cos\left(\frac{\alpha}{2}\right) \cdot \vec{j} + \sin\left(\frac{\alpha}{2}\right) \cdot \vec{k}\right) \cdot \left(-\sin\left(\frac{\alpha}{2}\right) \cdot \vec{i}\right) + \cos\left(\frac{\alpha}{2}\right) \cdot \left(\cos\left(\frac{\alpha}{2}\right) \cdot \vec{j} + \sin\left(\frac{\alpha}{2}\right) \cdot \vec{k}\right)$$

$$+ \left(\cos\left(\frac{\alpha}{2}\right) \cdot \vec{j} + \sin\left(\frac{\alpha}{2}\right) \cdot \vec{k}\right) \times \left(-\sin\left(\frac{\alpha}{2}\right) \cdot \vec{k}\right) =$$

$$= \cos^2\left(\frac{\alpha}{2}\right) \cdot \vec{j} + \sin\left(\frac{\alpha}{2}\right) \cdot \cos\left(\frac{\alpha}{2}\right) \cdot \vec{k} - \sin\left(\frac{\alpha}{2}\right) \cdot \cos\left(\frac{\alpha}{2}\right) \cdot (\vec{j} \times \vec{i}) - \sin^2\left(\frac{\alpha}{2}\right) \cdot (\vec{k} \times \vec{i}) =$$

$$= \cos(\alpha) \cdot \vec{j} + \sin(\alpha) \cdot \vec{k}.$$

Итак,  $\vec{j}^* = \cos(\alpha) \cdot \vec{j} + \sin(\alpha) \cdot \vec{k}$ , подставляя угол поворота  $\alpha = \frac{\pi}{2}$ , получим  $\vec{j}^* = \vec{k}$ .

# МетодДебая

Для упрощения расчетов и получения наглядных аналитических формул рассмотрим следующее приближение на основе интеграла Кирхгофа для вычисления поля вблизи фокуса.

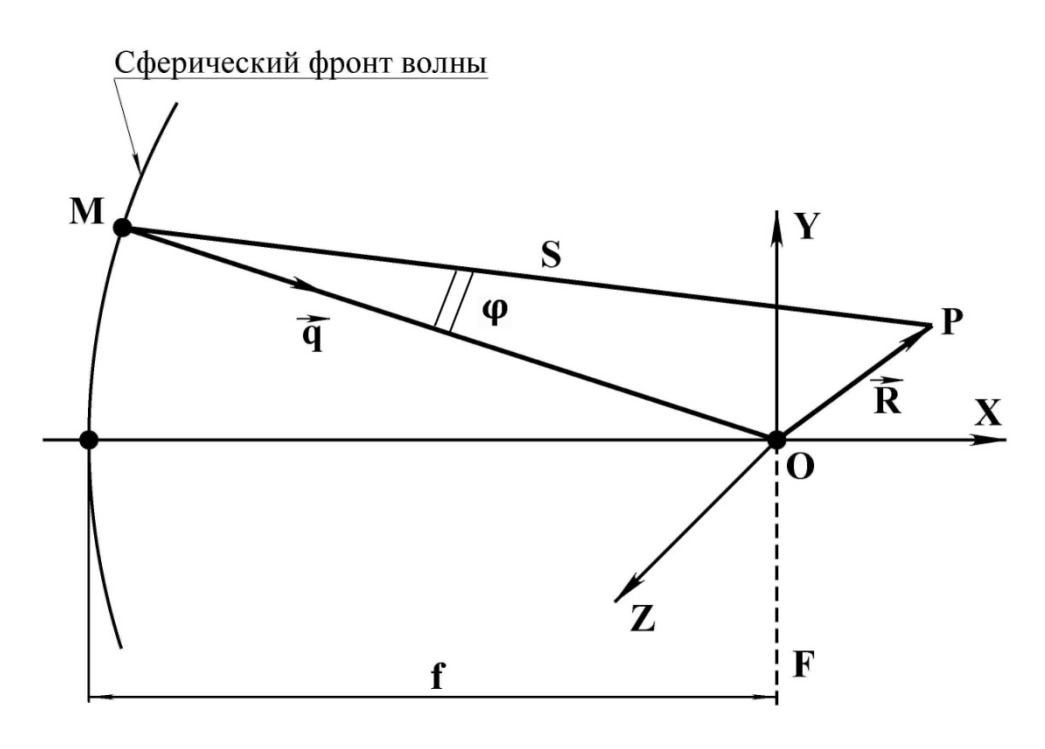


Рис. 8. Пояснения к методу Дебая

Систему координат выберем следующим образом: ось OX — вдоль оптической оси, оси OY и OZ — перпендикулярны оптической оси и образуют с осью OX правую систему координат. Центр O находится в фокусе линзы.

Волновой фронт за линзой предполагаем сферический.

M — точка на волновом фронте.

P — точка, в которой определяются значения векторов напряженности электромагнитного поля.

f — фокусное расстояние линзы.

 $\vec{q}$  — единичный вектор (безразмерный), нормаль к волновому фронту в точке M.

s — расстояние MP.

$$|\vec{R}| = OP$$
.

Запишем сначала интеграл Кирхгофа для расчета поля в точке P:

$$\varepsilon(P) = \frac{i}{\lambda} \cdot \iint_{\Sigma} \varepsilon(M) \cdot \frac{e^{-i \cdot k \cdot s}}{s} \cdot \left(\frac{1 + \cos\varphi}{2}\right) \cdot d\sigma. \tag{12}$$

Далее, проведем некоторые эквивалентные преобразования под интегралом с целью перейти к интегрированию по телесному углу:

$$\varepsilon(P) = \frac{i}{\lambda} \cdot \iint_{\Sigma} e^{-i \cdot k \cdot f} \cdot e^{i \cdot k \cdot f} \cdot \frac{f}{f} \cdot \varepsilon(M) \cdot \frac{e^{-i \cdot k \cdot s}}{s} \cdot \left(\frac{1 + \cos\varphi}{2}\right) \cdot d\sigma; \tag{13}$$

$$\varepsilon(P) = \frac{i}{\lambda} \cdot e^{-i \cdot k \cdot f} \cdot f \cdot \iint_{\Sigma} \varepsilon(M) \cdot \frac{e^{-i \cdot k \cdot (s - f)}}{f \cdot s} \cdot \left(\frac{1 + \cos\varphi}{2}\right) \cdot d\sigma. \tag{14}$$

Чтобы перейти к интегралу Дебая, примем следующие упрощения:

- 1)  $s \approx f$ :
- 2)  $s f \approx \vec{q} \cdot \vec{R}$ ;
- 3)  $\left(\frac{1+\cos\varphi}{2}\right) \approx 1.$

Тогда, с учетом того, что  $\frac{d\sigma}{f \cdot s} \approx \frac{d\sigma}{f^2} = d\Omega$  (телесный угол с началом в точке O, содержащий элементарную площадку волнового фронта с центром в точке M), интеграл Кирхгофа запишется в виде:

$$E_{\alpha}(P) \cong \frac{i}{\lambda} \cdot f \cdot e^{-i \cdot k \cdot f} \cdot \int_{\Omega} E_{\alpha}(M) \cdot e^{-i \cdot k \cdot \vec{q} \cdot \vec{R}} d\Omega, \tag{15}$$

который называется интегралом Дебая. Такое представление поля в точке наблюдения позволяет получить аналитические формулы, удобные для расчета в пределах ограничений, накладываемых на область наблюдения (см. приложение В).

#### Линейная поляризация.

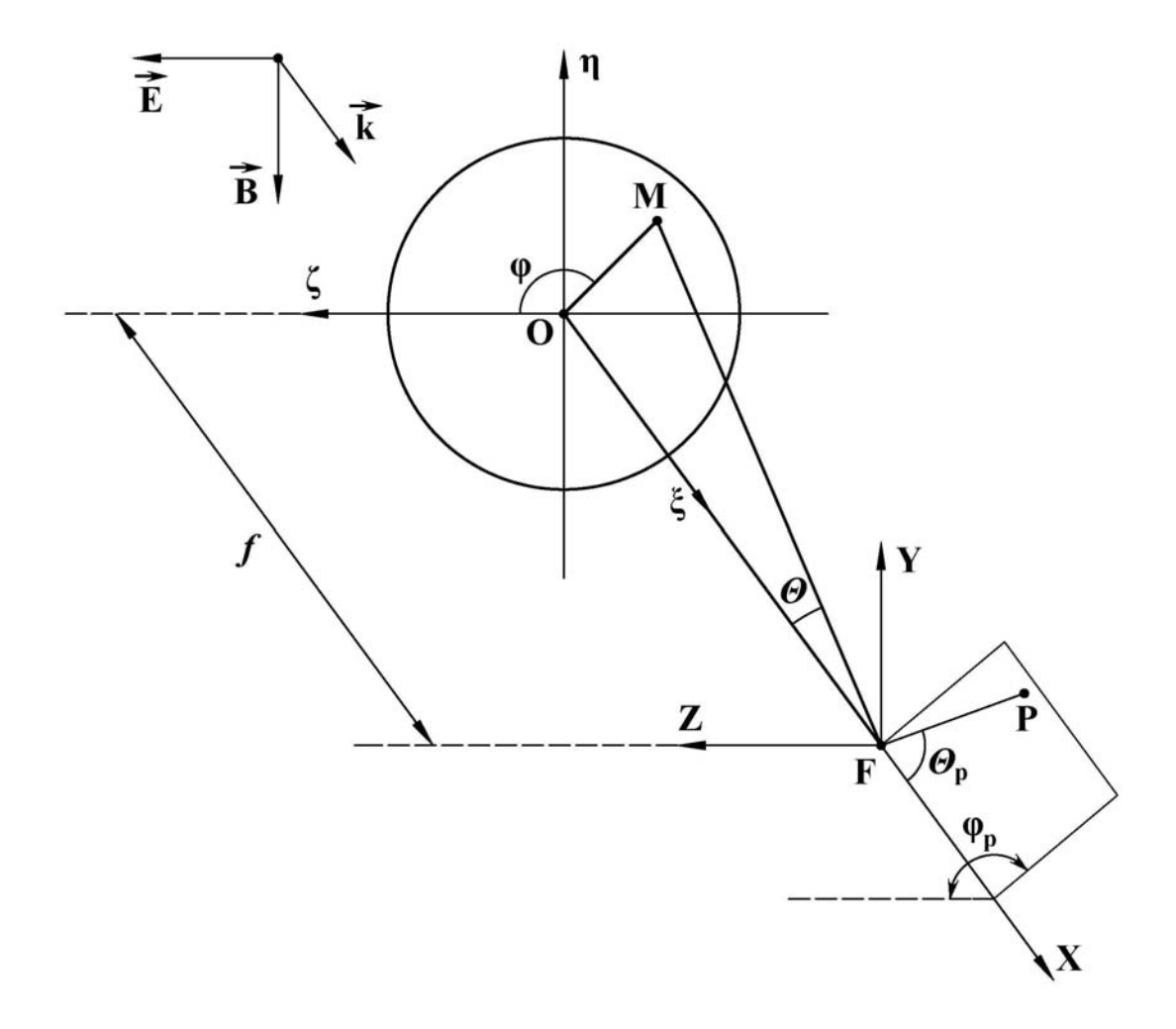


Рис. 9. Пояснение к выводу расчетных формул: точка M на сферическом волновом фронте описывается координатами  $(\varphi, \theta, FM = f)$ , где f – фокусное расстояние линзы; точка P, в которой рассчитывается поле, описывается координатами  $(\varphi_p, \theta_p, r_p = FP)$ 

Начало системы координат XYZ находится в фокусе линзы, ось FX совпадает с оптической осью, ось FZ сонаправлена с вектором  $\vec{E}$  в падающей волне (определяющим направление поляризации падающего излучения), ось FY направлена перпендикулярно осям FX и FZ.

Система координат $\xi\eta\zeta$  расположена непосредственно за линзой. Начало О находится на оптической оси, ось  $O\xi$  совпадает с оптической осью, ось  $O\zeta$  сонаправлена с вектором  $\vec{E}$  в падающей волне, ось  $O\eta$  направлена перпендикулярно осям  $O\xi$  и  $O\zeta$ .

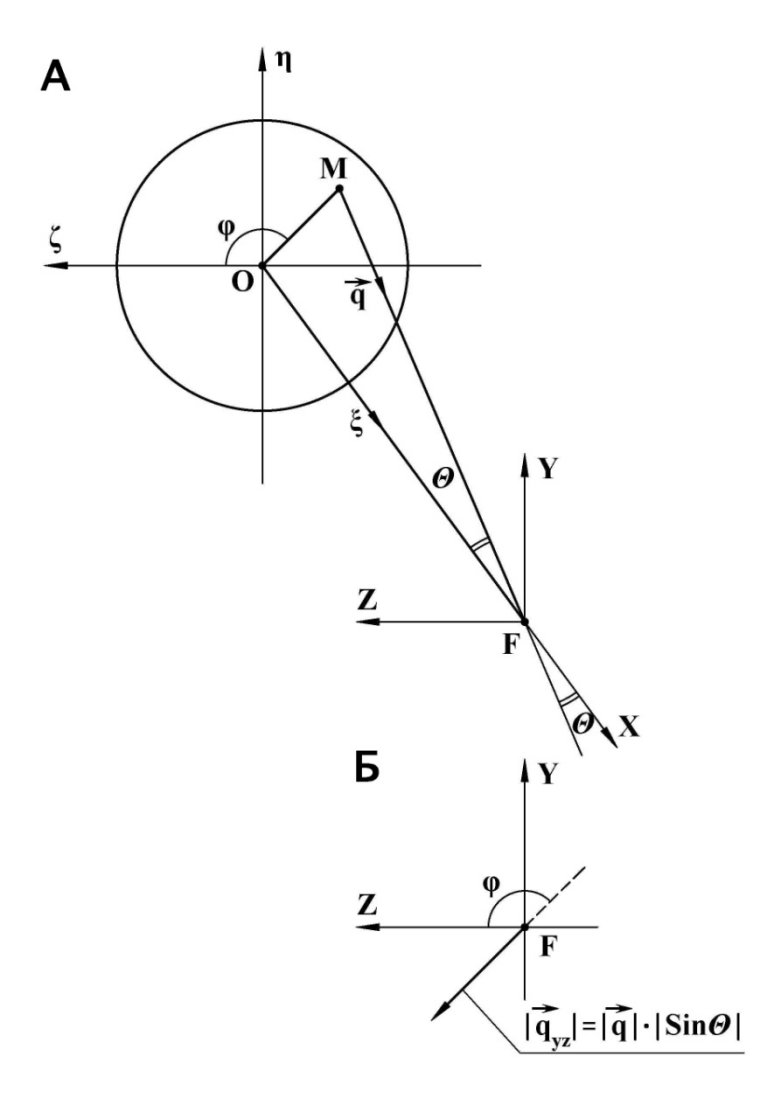


Рис. 10. Пояснение к вычислению проекций единичного безразмерного вектора  $\vec{q}$  (нормаль к сферическому волновому фронту). Из A) следует, что  $q_x = cos\theta$ . На Б) показана векторная проекция  $\vec{q}$  на плоскость ZFY. Из Б) следует, что  $q_y = -sin\theta \cdot sin\phi$ ,  $q_z = -sin\theta \cdot cos\phi$ 

Для расчета поля вблизи фокуса по формуле Дебая (17) нужно найти проекции преломленного линзой вектора  $\vec{E}(M)$  в базисе  $\vec{i}$ ,  $\vec{j}$ ,  $\vec{k}$  (рис. 4).При преломлении, плоскость, содержащая векторы  $\vec{E}$  и  $\vec{B}$  повернется в точке M вокруг оси  $\frac{(\vec{n}_0 \times \vec{q})}{|(\vec{n}_0 \times \vec{q})|}$  на угол  $\arccos{(\vec{n}_0 \cdot \vec{q})}$  (см. рис. 4 и рис. 5), где  $\vec{n}_0$  — единичный вектор, коллинеарный волновому вектору  $\vec{k}$  падающей волны;  $\vec{q}$  — единичная нормаль к сферическому волновому фронту в точке M. Тогда, после преломления, электрический вектор волны в базисе  $\vec{i}$ ,  $\vec{j}$ ,  $\vec{k}$  есть

$$\vec{E}^* = \Lambda * \vec{E} * \overline{\Lambda}, \tag{16}$$

где  $\vec{E}$  – вектор напряженности падающей на линзу волны;

 $\Lambda = \cos\frac{\alpha}{2} + \sin\frac{\alpha}{2} \cdot \vec{e}, \ \overline{\Lambda} = \cos\frac{\alpha}{2} - \sin\frac{\alpha}{2} \cdot \vec{e}$  — кватернион поворота и сопряженный ему;

 $\alpha=\arccos{(\vec{n}_0\cdot\vec{q})},\,\vec{e}=rac{\vec{n}_0 imes\vec{q}}{|\vec{n}_0 imes\vec{q}|}$  – угол поворота и орт оси поворота.

$$\vec{E} = \begin{pmatrix} 0 \\ 0 \\ E_0 \end{pmatrix}, \vec{n}_0 = \begin{pmatrix} 1 \\ 0 \\ 0 \end{pmatrix}, \vec{q} = \begin{pmatrix} \cos\theta \\ -\sin\theta \cdot \sin\varphi \\ -\sin\theta \cdot \cos\varphi \end{pmatrix}, \vec{e} = \frac{\vec{n}_0 \times \vec{q}}{|\vec{n}_0 \times \vec{q}|} = \begin{pmatrix} 0 \\ \cos\varphi \\ -\sin\varphi \end{pmatrix},$$

$$\alpha = \arccos(\vec{n}_0 \cdot \vec{q}) = \arccos(\cos\theta) = \theta.$$

См. поясняющие рисунки (рис. 9 и рис. 10).

Чтобы воспользоваться формулой (11), вычислим  $(\vec{e} \cdot \vec{E})$ ,  $(\vec{e} \times \vec{E})$  и  $(\vec{e} \times (\vec{e} \times \vec{E}))$ .

$$\vec{e} \cdot \vec{E} = -E_0 \cdot \sin \varphi;$$

$$\vec{e} \times \vec{E} = \begin{pmatrix} E_0 \cdot \cos\varphi \\ 0 \\ 0 \end{pmatrix}, \vec{e} \times (\vec{e} \times \vec{E}) = \begin{pmatrix} 0 \\ -E_0 \cdot \sin\varphi \cdot \cos\varphi \\ -E_0 \cdot \cos^2\varphi \end{pmatrix}.$$

Тогда преломленный вектор напряженности в точке M волнового фронта есть

$$\vec{E}^* = \begin{pmatrix} E_0 \cdot \sin\theta \cdot \cos\varphi \\ E_0 \cdot (\cos\theta - 1) \cdot \sin\varphi \cdot \cos\varphi \\ E_0 \cdot (\cos\theta + (1 - \cos\theta) \cdot \sin^2\varphi) \end{pmatrix}. \tag{17}$$

Далее, для вычисления интеграла Дебая (17) выразим  $\vec{R} = \vec{FP}$  через  $\varphi_p$ ,  $\theta_p$ ,  $r_p$  (рис. 9), характеризующие положение точки P, в которой рассчитывается поле, относительно фокуса F.

$$\vec{R} = \overrightarrow{OP} = \begin{pmatrix} r_p \cdot \cos\theta_p \\ r_p \cdot \sin\theta_p \cdot \sin\varphi_p \\ r_p \cdot \sin\theta_p \cdot \cos\varphi_p \end{pmatrix};$$

$$\vec{q} \cdot \vec{R} = r_p \cdot (\cos\theta \cdot \cos\theta_p - \sin\theta_p \cdot \sin\theta \cdot \cos(\varphi_p - \varphi)).$$

Теперь все известно для записи интеграла Дебая (15) в более конкретном виде.

$$E_{x}(P) = \frac{i}{\lambda} \cdot F \cdot e^{-i \cdot k \cdot F} \cdot E_{0} \cdot \int_{\Omega} d\Omega \cdot \sqrt{|\cos\theta|} \cdot \sin\theta \cdot \cos\varphi \cdot e^{-i \cdot k \cdot r_{p} \cdot (\cos\theta \cdot \cos\theta_{p} - \sin\theta_{p} \cdot \sin\theta \cdot \cos(\varphi_{p} - \varphi))}$$

$$E_{y}(P) = \frac{i}{\lambda} \cdot F \cdot e^{-i \cdot k \cdot F} \cdot E_{0} \cdot \int_{\Omega} d\Omega \cdot \sqrt{|\cos \theta|} \cdot (\cos \theta - 1) \cdot \sin \varphi \cdot \cos \varphi \cdot \frac{1}{2} \cdot \frac{1}{2}$$

$$\cdot e^{-i \cdot k \cdot r_p \cdot (cos\theta \cdot cos\theta_p - sin\theta_p \cdot sin\theta \cdot cos\left(\varphi_p - \varphi\right))}$$

$$\begin{split} E_z(P) &= \frac{i}{\lambda} \cdot F \cdot e^{-i \cdot k \cdot F} \cdot E_0 \cdot \int\limits_{\Omega} d\Omega \cdot \sqrt{|cos\theta|} \cdot (cos\theta + (1 - cos\theta) \cdot sin^2 \varphi) \\ &\cdot e^{-i \cdot k \cdot r_p \cdot (cos\theta \cdot cos\theta_p - sin\theta_p \cdot sin\theta \cdot cos(\varphi_p - \varphi))}. \end{split}$$

Множитель  $\sqrt{|cos\theta|}$  выражает закон сохранения энергии излучения при фокусировке.

 $d\Omega = sin\theta \cdot d\theta \cdot d\varphi, \, \theta \in [\pi - \alpha, \pi], \, \varphi \in [0, 2\pi], \, \alpha$  – апертурный угол, равный arcsin  $(\frac{D}{2 \cdot f})$ .

Используя тождества  $sin \varphi \cdot cos \varphi = \frac{sin 2\varphi}{2}, sin^2 \varphi = \frac{1-cos 2\varphi}{2},$  запишем:

$$\begin{split} E_x(P) &= \frac{i}{\lambda} \cdot F \cdot e^{-i \cdot k \cdot F} \cdot E_0 \cdot \int\limits_{\pi - \alpha}^{\pi} d\theta \sqrt{|\cos \theta|} \cdot \sin^2 \theta \\ & \cdot e^{-i \cdot k \cdot r_p \cdot \cos \theta_p \cdot \cos \theta} \int\limits_{0}^{2\pi} d\varphi \cos \varphi \cdot e^{i \cdot k \cdot r_p \cdot \sin \theta_p \cdot \sin \theta \cdot \cos (\varphi - \varphi_p)} \,; \end{split}$$

$$\begin{split} E_{y}(P) &= \frac{i}{\lambda} \cdot F \cdot e^{-i \cdot k \cdot F} \cdot E_{0} \cdot \int\limits_{\pi - \alpha}^{\pi} d\theta \, \sqrt{|cos\theta|} \cdot sin\theta \cdot (cos\theta - 1) \\ &\quad \cdot e^{-i \cdot k \cdot r_{p} \cdot cos\theta_{p} \cdot cos\theta} \int\limits_{0}^{2\pi} d\varphi \cdot sin2\varphi \cdot e^{i \cdot k \cdot r_{p} \cdot sin\theta_{p} \cdot sin\theta \cdot cos \, (\varphi - \varphi_{p})}; \end{split}$$

$$\begin{split} E_{z}(P) &= \frac{i}{\lambda} \cdot F \cdot e^{-i \cdot k \cdot F} \cdot E_{0} \cdot (\int\limits_{\pi - \alpha}^{\pi} d\theta \sqrt{|cos\theta|} \cdot sin\theta \cdot \frac{(1 + cos\theta)}{2} \\ & \cdot e^{-i \cdot k \cdot r_{p} \cdot cos\theta_{p} \cdot cos\theta} \int\limits_{0}^{2\pi} d\phi \cdot e^{i \cdot k \cdot r_{p} \cdot sin\theta_{p} \cdot sin\theta \cdot cos} (\varphi - \varphi_{p}) - \int\limits_{\pi - \alpha}^{\pi} d\theta \sqrt{|cos\theta|} \cdot sin\theta \\ & \cdot \frac{(1 - cos\theta)}{2} \cdot e^{-i \cdot k \cdot r_{p} \cdot cos\theta_{p} \cdot cos\theta} \int\limits_{0}^{2\pi} d\phi \cdot cos2\phi \cdot e^{i \cdot k \cdot r_{p} \cdot sin\theta_{p} \cdot sin\theta \cdot cos} (\varphi - \varphi_{p})) \end{split}$$

Используя тождества

$$\int_{0}^{2\pi} \cos(n \cdot \varphi) \cdot e^{i \cdot \rho \cdot \cos(\varphi - \gamma)} d\varphi = 2\pi \cdot i^{n} \cdot J_{n}(\rho) \cdot \cos(n \cdot \gamma); \tag{18}$$

$$\int_{0}^{2\pi} \sin(n \cdot \varphi) \cdot e^{i \cdot \rho \cdot \cos(\varphi - \gamma)} d\varphi = 2\pi \cdot i^{n} \cdot J_{n}(\rho) \cdot \sin(n \cdot \gamma), \tag{19}$$

где  $J_n(\rho)$  - функция Бесселя n-го порядка.

Получим окончательные формулы:

$$E_{x}(P) = -\frac{2\pi}{\lambda} \cdot E_{0} \cdot F \cdot e^{-i \cdot k \cdot F} \cdot I_{1}(r_{p}, \theta_{p}) \cdot \cos \varphi_{p}; \tag{20}$$

$$E_{y}(P) = -i \cdot \frac{2\pi}{\lambda} \cdot E_{0} \cdot F \cdot e^{-i \cdot k \cdot F} \cdot \frac{I_{2}(r_{p}, \theta_{p})}{2} \cdot \sin 2\varphi_{p}; \tag{21}$$

$$E_z(P) = i \cdot \frac{2\pi}{\lambda} \cdot E_0 \cdot F \cdot e^{-i \cdot k \cdot F} \cdot \frac{(I_0(r_p, \theta_p) - I_2(r_p, \theta_p) \cdot \cos 2\varphi_p)}{2}, \tag{22}$$

где

$$I_0(r_p, \theta_p) = \int_{\pi - \alpha}^{\pi} d\theta \sqrt{|\cos\theta|} \cdot \sin\theta \cdot (1 + \cos\theta) \cdot e^{-i \cdot k \cdot r_p \cdot \cos\theta_p \cdot \cos\theta} \cdot J_0(k \cdot r_p \cdot \sin\theta_p \cdot \sin\theta); \quad (23)$$

$$I_{1}(r_{p},\theta_{p}) = \int_{\pi-\alpha}^{\pi} d\theta \sqrt{|\cos\theta|} \cdot \sin^{2}\theta \cdot e^{-i\cdot k\cdot r_{p}\cdot \cos\theta_{p}\cdot \cos\theta} \cdot J_{1}(k\cdot r_{p}\cdot \sin\theta_{p}\cdot \sin\theta); \tag{24}$$

$$I_{2}(r_{p},\theta_{p}) = \int_{\pi-\alpha}^{\pi} d\theta \sqrt{|\cos\theta|} \cdot \sin\theta \cdot (\cos\theta - 1) \cdot e^{-i \cdot k \cdot r_{p} \cdot \cos\theta_{p} \cdot \cos\theta} \cdot J_{2}(k \cdot r_{p} \cdot \sin\theta_{p} \cdot \sin\theta). \tag{25}$$

Для магнитного поля вывод формул аналогичен, меняется лишь одно входное данное – вектор индукции магнитного поля в падающей волне:

$$\vec{B} = \begin{pmatrix} 0 \\ -B_0 \\ 0 \end{pmatrix}.$$

В результате получаем:

$$\vec{B}^* = \begin{pmatrix} -B_0 \cdot \sin\theta \cdot \sin\varphi \\ -B_0 \cdot (\cos^2\frac{\theta}{2} + \sin^2\frac{\theta}{2} \cdot \cos 2\varphi) \\ B_0 \cdot \sin^2\frac{\theta}{2} \cdot \sin 2\varphi \end{pmatrix}; \tag{26}$$

$$B_{x}(P) = \frac{2\pi}{\lambda} \cdot F \cdot e^{-i \cdot k \cdot F} \cdot B_{0} \cdot I_{1}(r_{p}, \theta_{p}) \cdot \sin \varphi_{p}; \tag{27}$$

$$B_{y}(P) = -i \cdot \frac{2\pi}{\lambda} \cdot F \cdot e^{-i \cdot k \cdot F} \cdot B_{0} \cdot \frac{\left(I_{0}\left(r_{p}, \theta_{p}\right) - I_{2}\left(r_{p}, \theta_{p}\right) \cdot \cos 2\varphi_{p}\right)}{2}; \tag{28}$$

$$B_z(P) = i \cdot \frac{2\pi}{\lambda} \cdot F \cdot e^{-i \cdot k \cdot F} \cdot B_0 \cdot \frac{I_2(r_p, \theta_p)}{2} \cdot \sin 2\varphi_p, \tag{29}$$

где  $I_0(r_p, \theta_p)$ ,  $I_1(r_p, \theta_p)$ ,  $I_2(r_p, \theta_p)$  определены выше (см. формулы (23), (24), (25)).

## Радиальная поляризация

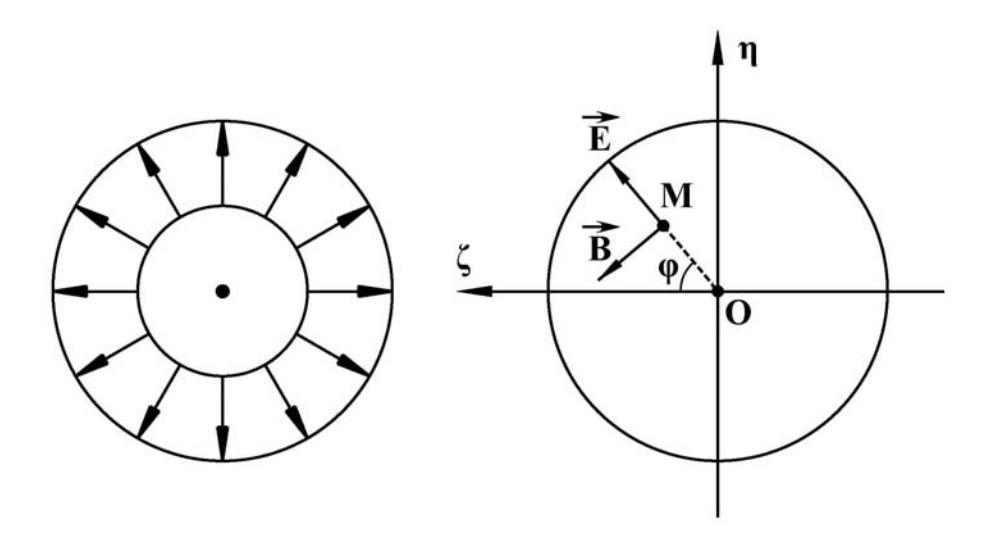


Рис. 11. Радиальная поляризация, направления колебаний вектора  $\vec{E}$  в лазерном пучке

Вектор напряженности в падающей волне есть  $\vec{E} = \begin{pmatrix} 0 \\ E_0 \cdot sin\phi \\ E_0 \cdot cos\phi \end{pmatrix}$  (см. рис. 11.). Вычисляем вектор  $\vec{E}^*$  преломленной волны по формуле (16).

$$\vec{n}_0 = \begin{pmatrix} 1 \\ 0 \\ 0 \end{pmatrix}, \vec{n}_1 = \begin{pmatrix} \cos\theta \\ -\sin\theta \cdot \sin\varphi \\ -\sin\theta \cdot \cos\varphi \end{pmatrix}, \vec{e} = \begin{pmatrix} 0 \\ \cos\varphi \\ -\sin\varphi \end{pmatrix};$$

$$\alpha = \arccos(\vec{n}_0 \cdot \vec{n}_1) = \arccos(\cos\theta) = \theta;$$

$$\vec{e} \cdot \vec{E} = 0, \ \vec{e} \times \vec{E} = \begin{pmatrix} E_0 \\ 0 \\ 0 \end{pmatrix}, \ \vec{e} \times (\vec{e} \times \vec{E}) = \begin{pmatrix} 0 \\ -E_0 \cdot \sin\varphi \\ -E_0 \cdot \cos\varphi \end{pmatrix}.$$

В результате получим:

$$\vec{E}^* = \begin{pmatrix} E_0 \cdot \sin\theta \\ E_0 \cdot \cos\theta \cdot \sin\varphi \\ E_0 \cdot \cos\theta \cdot \cos\varphi \end{pmatrix}. \tag{30}$$

Проводя преобразования интегральной формулы (15), аналогичные случаю линейно поляризованного излучения, получим:

$$E_{x}(P) = i \cdot \frac{2\pi}{\lambda} \cdot E_{0} \cdot F \cdot e^{-i \cdot k \cdot F} \cdot R_{0}(r_{p}, \theta_{p}); \tag{31}$$

$$E_{y}(P) = -\frac{2\pi}{\lambda} \cdot E_{0} \cdot F \cdot e^{-i \cdot k \cdot F} \cdot R_{1}(r_{p}, \theta_{p}) \cdot \sin \varphi_{p}; \tag{32}$$

$$E_z(P) = -\frac{2\pi}{\lambda} \cdot E_0 \cdot F \cdot e^{-i \cdot k \cdot F} \cdot R_1(r_p, \theta_p) \cdot \cos \varphi_p, \tag{33}$$

где

$$R_0(r_p, \theta_p) = \int_{\pi-\alpha}^{\pi} d\theta \sqrt{\cos\theta} \cdot \sin^2\theta \cdot e^{-i \cdot k \cdot r_p \cdot \cos\theta \cdot \cos\theta_p} \cdot J_0(k \cdot r_p \cdot \sin\theta_p \cdot \sin\theta); \tag{34}$$

$$R_{1}(r_{p},\theta_{p}) = \int_{\pi-\alpha}^{\pi} d\theta \sqrt{\cos\theta} \cdot \sin\theta \cdot \cos\theta \cdot e^{-i \cdot k \cdot r_{p} \cdot \cos\theta \cdot \cos\theta_{p}} \cdot J_{1}(k \cdot r_{p} \cdot \sin\theta_{p} \cdot \sin\theta). \tag{35}$$

Для магнитного поля вывод формул аналогичен, меняется лишь одно входное данное – вектор индукции магнитного поля в падающей волне (см. рис. 11):

$$\vec{B} = \begin{pmatrix} 0 \\ -B_0 \cdot \cos\varphi \\ B_0 \cdot \sin\varphi \end{pmatrix}.$$

В результате получаем:

$$\vec{B}^* = \begin{pmatrix} 0 \\ -B_0 \cdot \cos\varphi \\ B_0 \cdot \sin\varphi \end{pmatrix}; \tag{36}$$

$$B_{\chi}(P) = 0; (37)$$

$$B_{y}(P) = \frac{2\pi}{\lambda} \cdot B_{0} \cdot F \cdot e^{-i \cdot k \cdot F} \cdot A(r_{p}, \theta_{p}) \cdot \cos \varphi_{p}; \tag{38}$$

$$B_z(P) = -\frac{2\pi}{\lambda} \cdot B_0 \cdot F \cdot e^{-i \cdot k \cdot F} \cdot A(r_p, \theta_p) \cdot \sin \varphi_p, \tag{39}$$

где

$$A(r_p, \theta_p) = \int_{\pi-\alpha}^{\pi} d\theta \cdot \sqrt{|\cos\theta|} \cdot \sin\theta \cdot e^{-i \cdot k \cdot r_p \cdot \cos\theta_p \cdot \cos\theta} \cdot J_1(k \cdot r_p \cdot \sin\theta_p \cdot \sin\theta). \tag{40}$$

### Азимутальная поляризация.

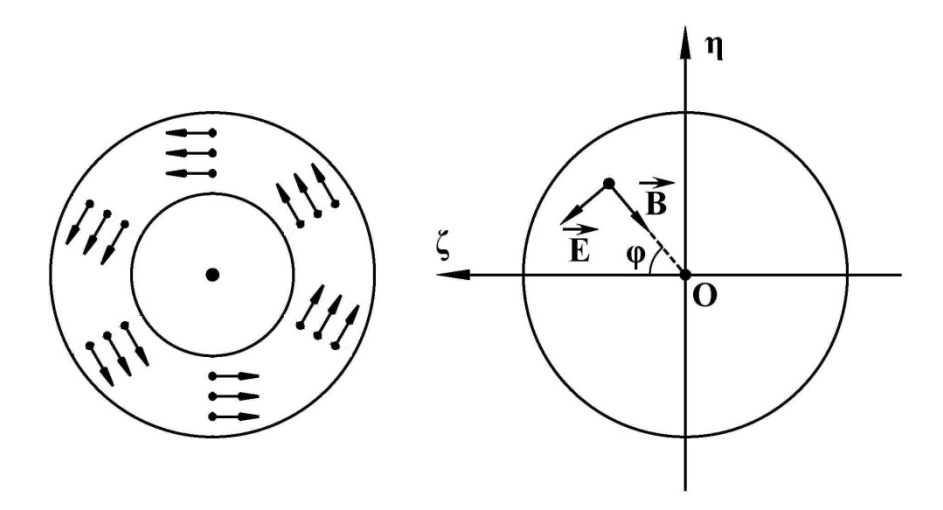


Рис. 12. Азимутальная поляризация, направления колебаний вектора  $\vec{E}$  в лазерном пучке

Вектор напряженности в падающей волне есть  $\vec{E} = \begin{pmatrix} 0 \\ -E_0 \cdot cos \varphi \\ E_0 \cdot sin \varphi \end{pmatrix}$  (см. рис. 12). Вычисляем вектор  $\vec{E}^*$  преломленной волны по формуле (16).

Величины, необходимые для вычисления:

$$\vec{n}_0 = \begin{pmatrix} 1 \\ 0 \\ 0 \end{pmatrix}, \vec{q} = \begin{pmatrix} \cos\theta \\ -\sin\theta \cdot \sin\phi \\ -\sin\theta \cdot \cos\phi \end{pmatrix}, \vec{e} = \begin{pmatrix} 0 \\ \cos\phi \\ -\sin\phi \end{pmatrix};$$

$$\alpha = \arccos(\vec{n}_0 \cdot \vec{n}_1) = \arccos(\cos\theta) = \theta;$$

$$\vec{e} \cdot \vec{E} = -E_0, \, \vec{e} \times \vec{E} = 0, \, \vec{e} \times (\vec{e} \times \vec{E}) = 0.$$

В результате получим:

$$\vec{E}^* = \begin{pmatrix} 0 \\ -E_0 \cdot \cos\varphi \\ E_0 \cdot \sin\varphi \end{pmatrix}. \tag{41}$$

Проводя преобразования интегральной формулы (15), аналогичные случаю линейно поляризованного излучения, получим:

$$E_{r}(P) = 0; (42)$$

$$E_{y}(P) = \frac{2\pi}{\lambda} \cdot E_{0} \cdot F \cdot e^{-i \cdot k \cdot F} \cdot A(r_{p}, \theta_{p}) \cdot \cos \varphi_{p}; \tag{43}$$

$$E_z(P) = -\frac{2\pi}{\lambda} \cdot E_0 \cdot F \cdot e^{-i \cdot k \cdot F} \cdot A(r_p, \theta_p) \cdot \sin \varphi_p, \tag{44}$$

где  $A(r_p, \theta_p)$  определено выше (см. формулу (40)).

Для магнитного поля вывод формул аналогичен, меняется лишь одно входное данное – вектор индукции магнитного поля в падающей волне:

$$\vec{B} = \begin{pmatrix} 0 \\ -B_0 \cdot \sin\varphi \\ -B_0 \cdot \cos\varphi \end{pmatrix}.$$

В результате получаем:

$$\vec{B}^* = \begin{pmatrix} -B_0 \cdot \sin\theta \\ -B_0 \cdot \cos\theta \cdot \sin\varphi \\ -B_0 \cdot \cos\theta \cdot \cos\varphi \end{pmatrix}; \tag{45}$$

$$B_{x}(P) = -i \cdot \frac{2\pi}{\lambda} \cdot B_{0} \cdot F \cdot e^{-i \cdot k \cdot F} \cdot R_{0}(r_{p}, \theta_{p}); \tag{46}$$

$$B_{y}(P) = \frac{2\pi}{\lambda} \cdot B_{0} \cdot F \cdot e^{-i \cdot k \cdot F} \cdot R_{1}(r_{p}, \theta_{p}) \cdot \sin \varphi_{p}; \tag{47}$$

$$B_z(P) = \frac{2\pi}{\lambda} \cdot B_0 \cdot F \cdot e^{-i \cdot k \cdot F} \cdot R_1(r_p, \theta_p) \cdot \cos \varphi_p, \tag{48}$$

где  $R_0(r_p, \theta_p)$  и  $R_1(r_p, \theta_p)$  (см. формулы (34), (35)).

#### Результаты расчетов Электрическое поле.

Для распределений  $E_x(x=0,y,z), E_y(x=0,y,z), E_z(x=0,y,z)$  (так же как и для  $B_x(x=0,y,z), B_y(x=0,y,z), B_z(x=0,y,z)$ ) характерно наличие одного, двух или четырех главных максимумов (в зависимости от типа поляризации падающего излучения). Объяснение этому дается в приложениях A и Б. Доля интенсивности, приходящаяся на отдельную компоненту поля  $E_\alpha(x,y,z)$  ( $\alpha=x,y,z$ ) зависит от апертурного угла линзы  $\alpha=\arcsin\left(\frac{D}{2\cdot F}\right)$  и типа поляризации падающего излучения.

## Линейная поляризация падающего излучения.

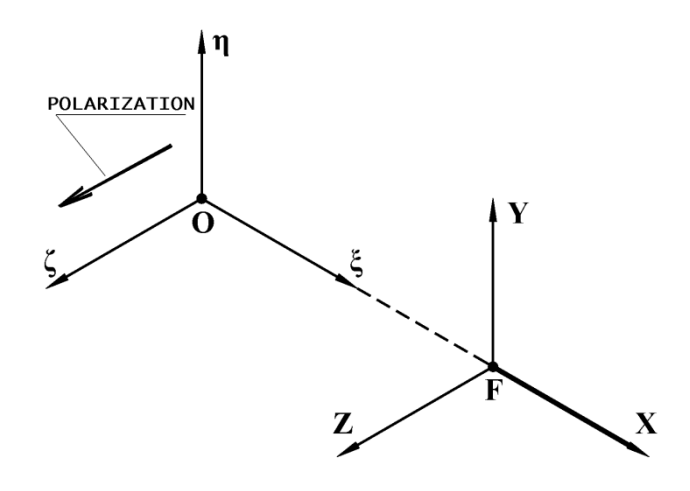


Рис. 13. Направление поляризации в падающей волне совпадает по направлению с осью  $O\zeta$  (и FZ)

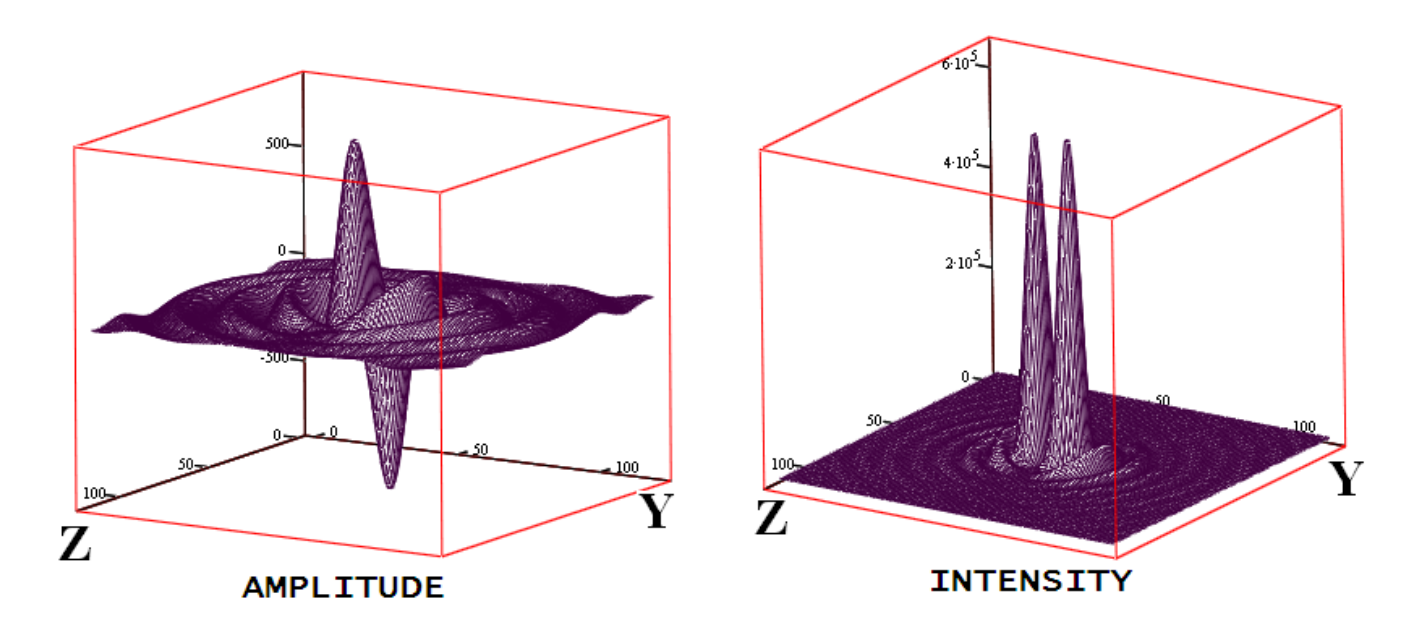


Рис. 14. Продольная компонента ОХ электрического поля. Отношение значения интенсивности в главном максимуме к максимуму суммарной интенсивности составляет  $\frac{max I_{ox}}{max I_{\Sigma}} \cong 10^{-3}$ .

Максимумы интенсивности расположены в точках 
$$\begin{pmatrix} x=0\\y=0\\z\cong -2\lambda \end{pmatrix}$$
,  $\begin{pmatrix} x=0\\y=0\\z\cong +2\lambda \end{pmatrix}$ 

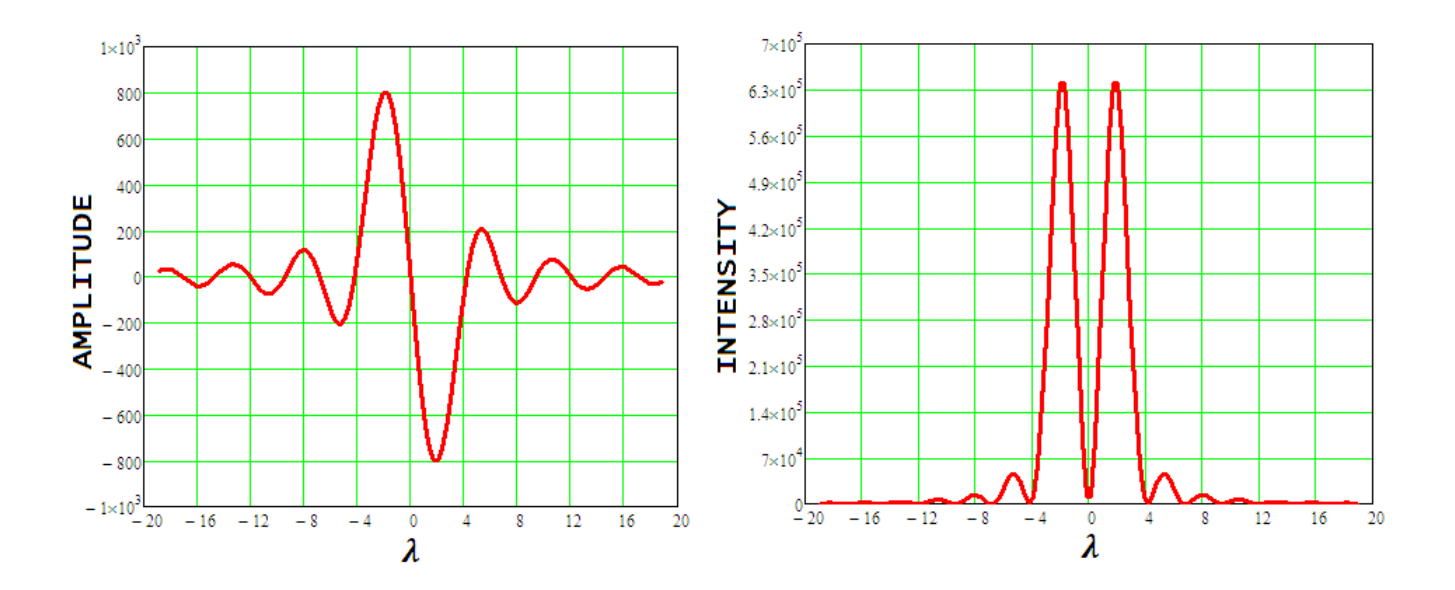


Рис. 15. Продольная компонента ОХ электрического поля. Сечение в главных максимумах. В фокусе F продольная компонента поля электрического поля равна нулю.

Ширина главных максимумов интенсивности  $\cong \frac{2\lambda}{D}$ 

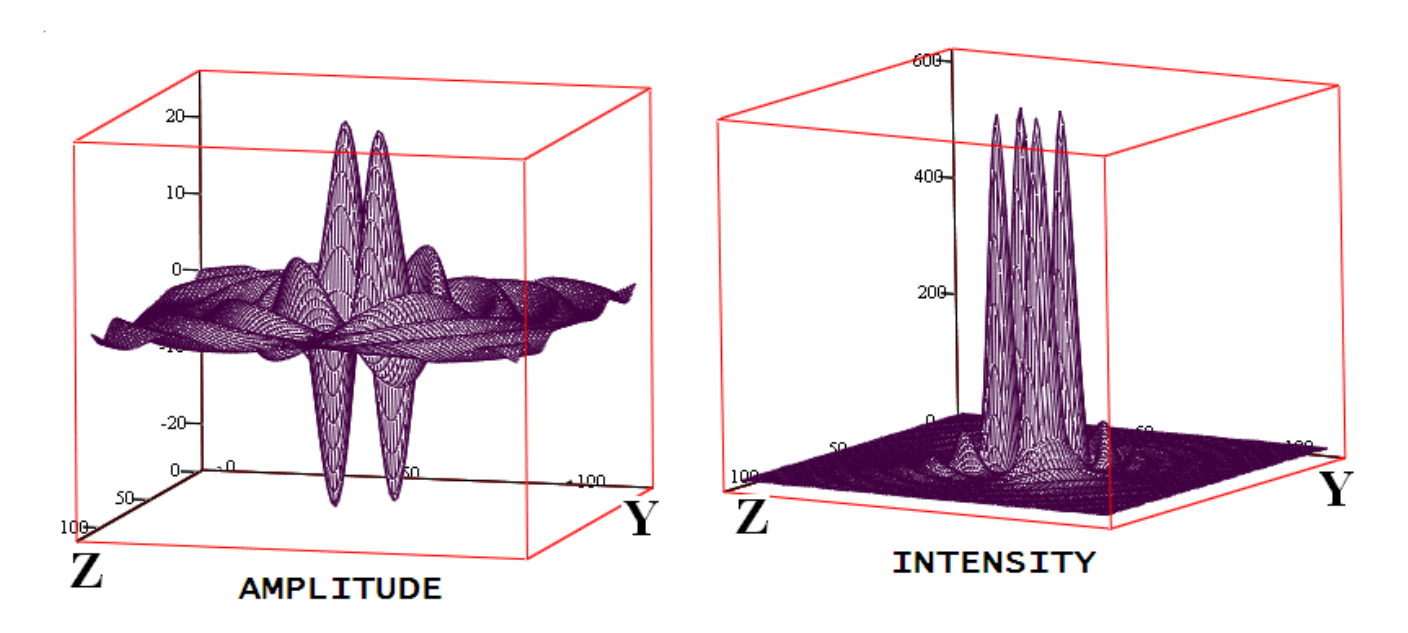


Рис. 16. Поперечная компонента ОУ электрического поля (перпендикулярна направлению поляризации падающего излучения). Отношение значения интенсивности в главном максимуме к максимуму суммарной интенсивности составляет  $\frac{maxI_{oy}}{maxI_{\Sigma}} \cong 10^{-5}$ . Максимумы интенсивности

расположены в точках 
$$\begin{pmatrix} x=0\\y\cong 2\cdot\lambda\\z\cong 2\cdot\lambda \end{pmatrix}$$
,  $\begin{pmatrix} x=0\\y\cong 2\cdot\lambda\\z\cong -2\cdot\lambda \end{pmatrix}$ ,  $\begin{pmatrix} x=0\\y\cong -2\cdot\lambda\\z\cong 2\cdot\lambda \end{pmatrix}$ ,  $\begin{pmatrix} x=0\\y\cong -2\cdot\lambda\\z\cong 2\cdot\lambda \end{pmatrix}$ 

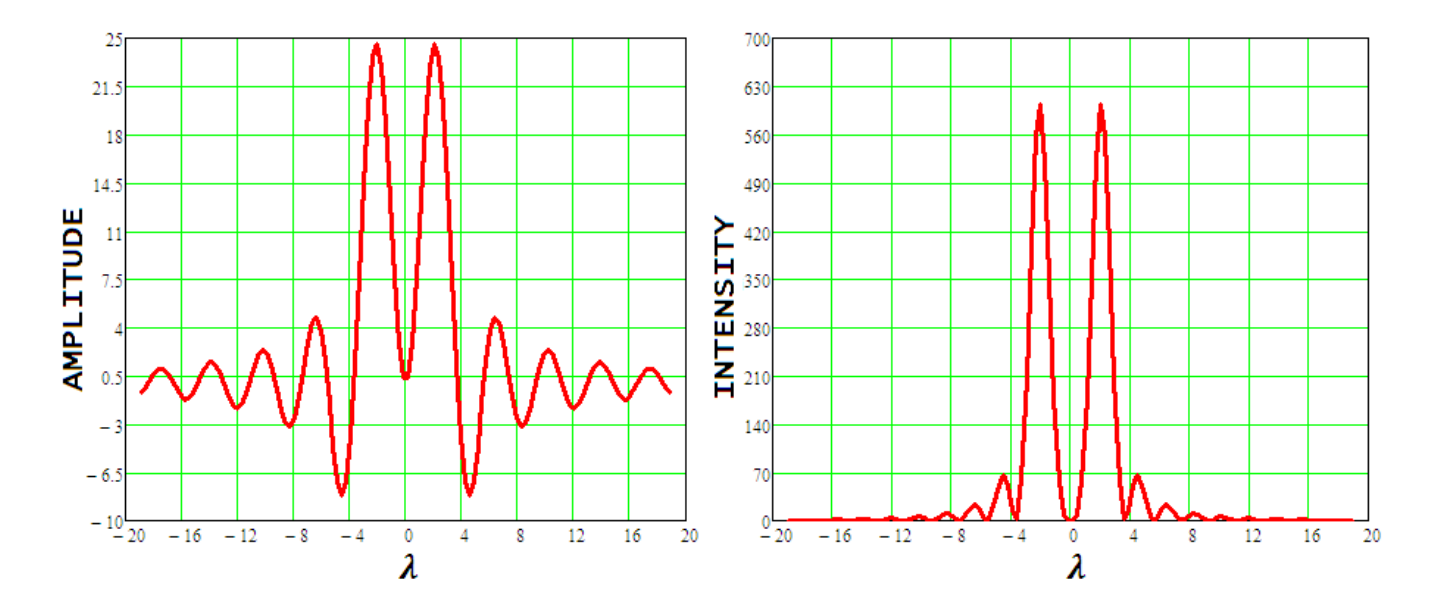


Рис. 17. Поперечная компонента ОУ электрического поля (диагональное сечение). Ширина главных максимумов интенсивности  $\cong \frac{2 \cdot \lambda}{D}$ , ширина провала между ними  $\cong \frac{4 \cdot \lambda}{D}$ 

В распределении  $E_y(y,z)$  есть четыре главных максимума: два из них (расположенные на одной диагонали в плоскости YZ) синфазны, а два других (на другой диагонали в плоскости YZ) противофазны им. В фокусе F  $E_y(y,z)=0$ .

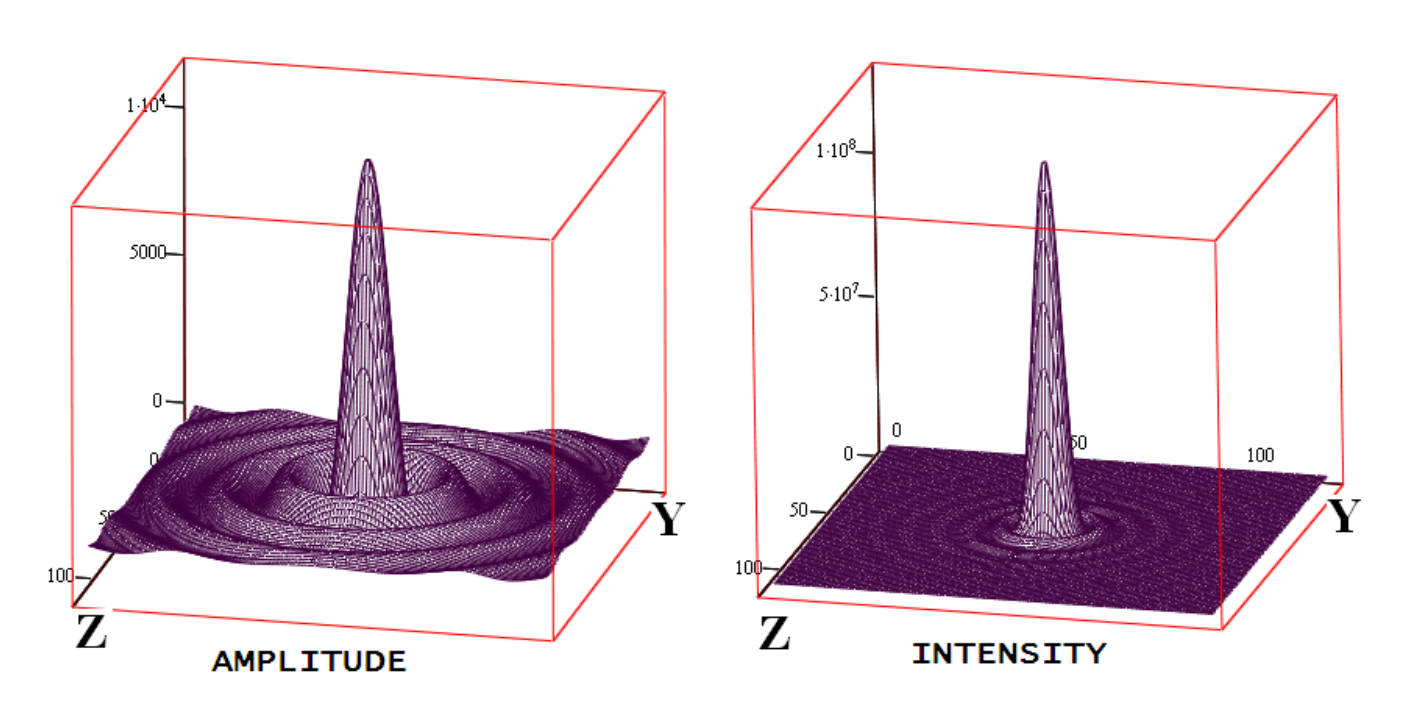


Рис. 18. Поперечная компонента OZ электрического поля (совпадает с направлением поляризации падающего излучения). Отношение значения интенсивности в главном максимуме к максимуму суммарной интенсивности составляет  $\frac{maxI_{oz}}{maxI_{\Sigma}} \cong 1$ .

Главный максимум интенсивности расположен в точке 
$$\begin{pmatrix} x=0\\y=0\\z=0 \end{pmatrix}$$

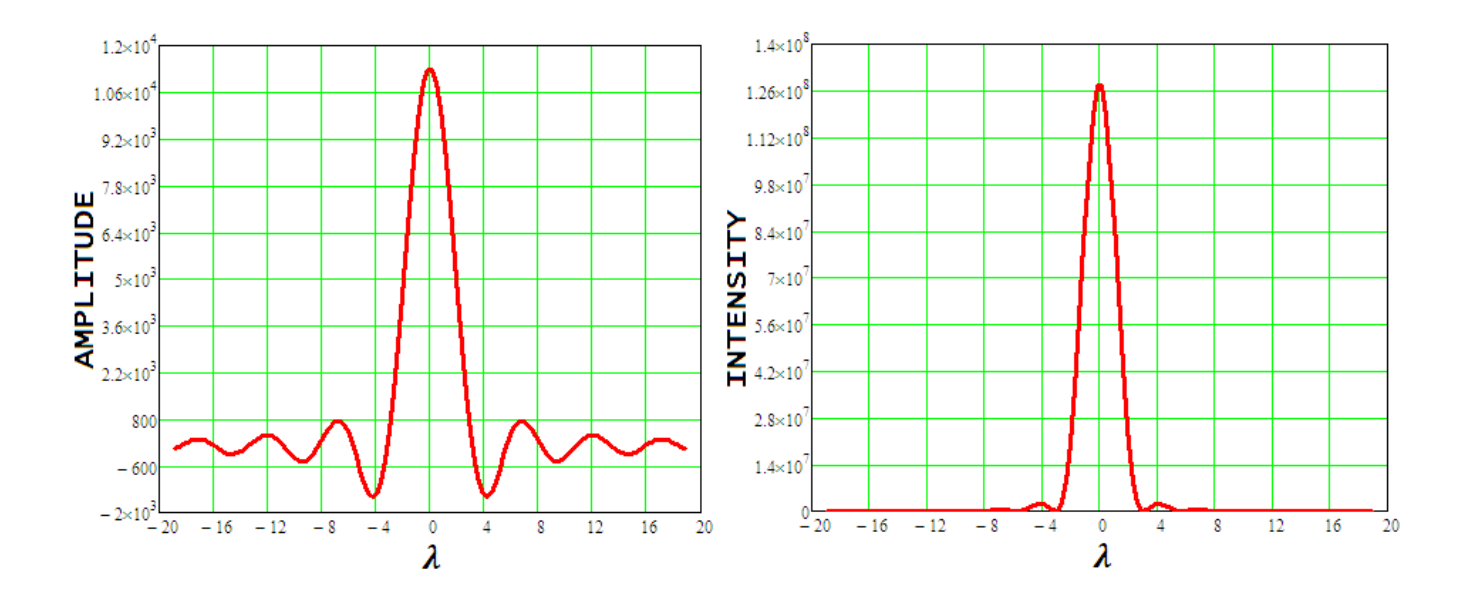


Рис. 19. Поперечная компонента OZ электрического поля. Сечение в главном максимуме

В распределении  $E_z(y,z)$  есть один центральный максимум. Ширина главного максимума интенсивности составляет  $\frac{4\lambda}{D}$ .

## Радиальная поляризация.

В распределении интенсивности  $I_{ox}=E_x^2(x=0,y,z)$ , приходящейся на продольную компоненту поля — один главный максимум, расположенный в фокусе. Структура распределений интенсивностей  $I_{oy}=E_y^2(x=0,y,z)$  и  $I_{oz}=E_z^2(x=0,y,z)$ , приходящихся на поперечные компоненты поля, одинакова (в фокусе поле равно нулю, угловая ширина провала  $\cong \frac{2\cdot\lambda}{D}$ ), но картины распределений «повернуты» на  $\frac{\pi}{2}$  друг относительно друга.

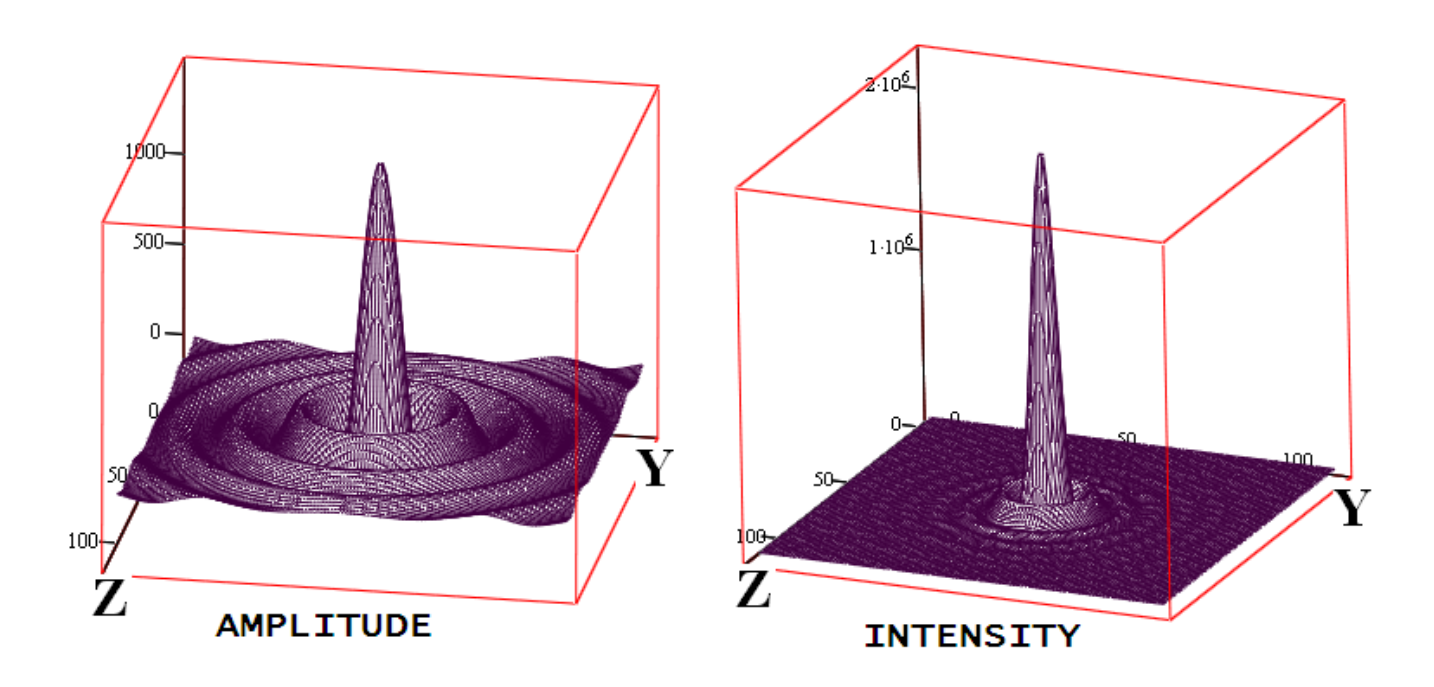


Рис. 20. Продольная компонента ОХ электрического поля. Отношение значения интенсивности в главном максимуме к максимуму суммарной интенсивности составляет  $\frac{maxl_{ox}}{maxl_{\Sigma}} \cong 10^{-1}$ .

Главный максимум интенсивности расположен в точке 
$$\begin{pmatrix} x=0\\y=0\\z=0 \end{pmatrix}$$

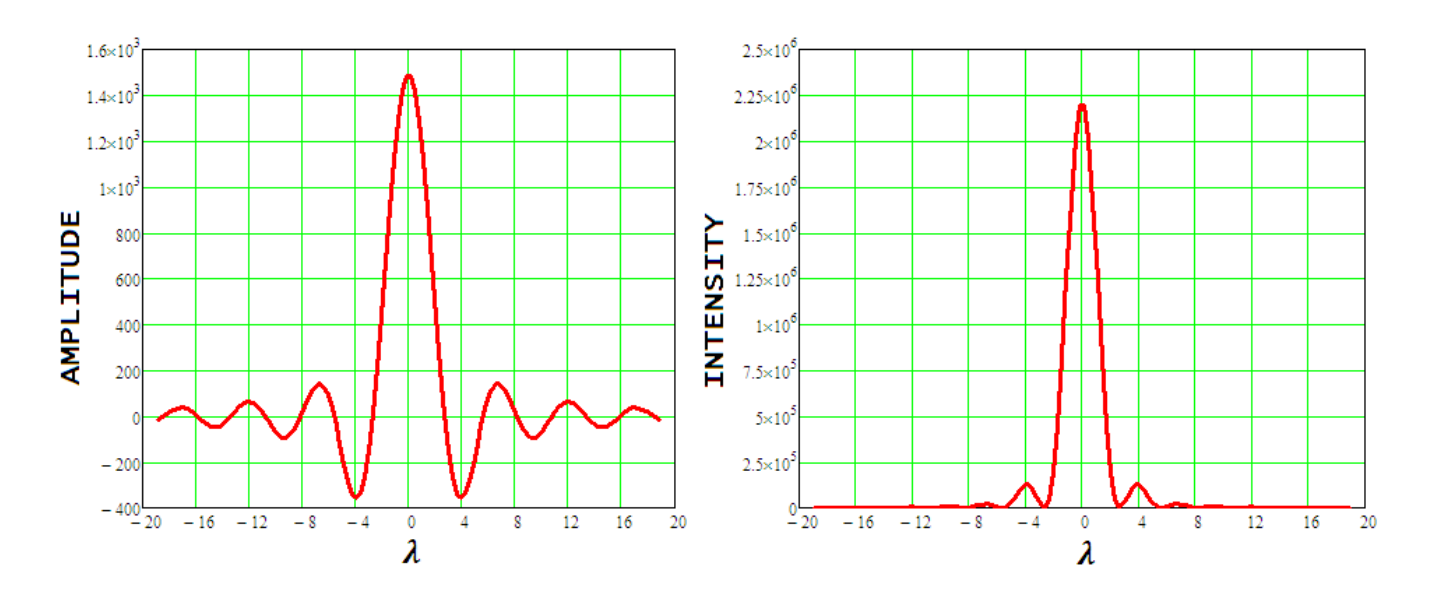


Рис. 21. Продольная компонента ОХ электрического поля. Сечение в главном максимуме. Ширина главного максимума интенсивности составляет  $\cong \frac{4 \cdot \lambda}{D}$ 

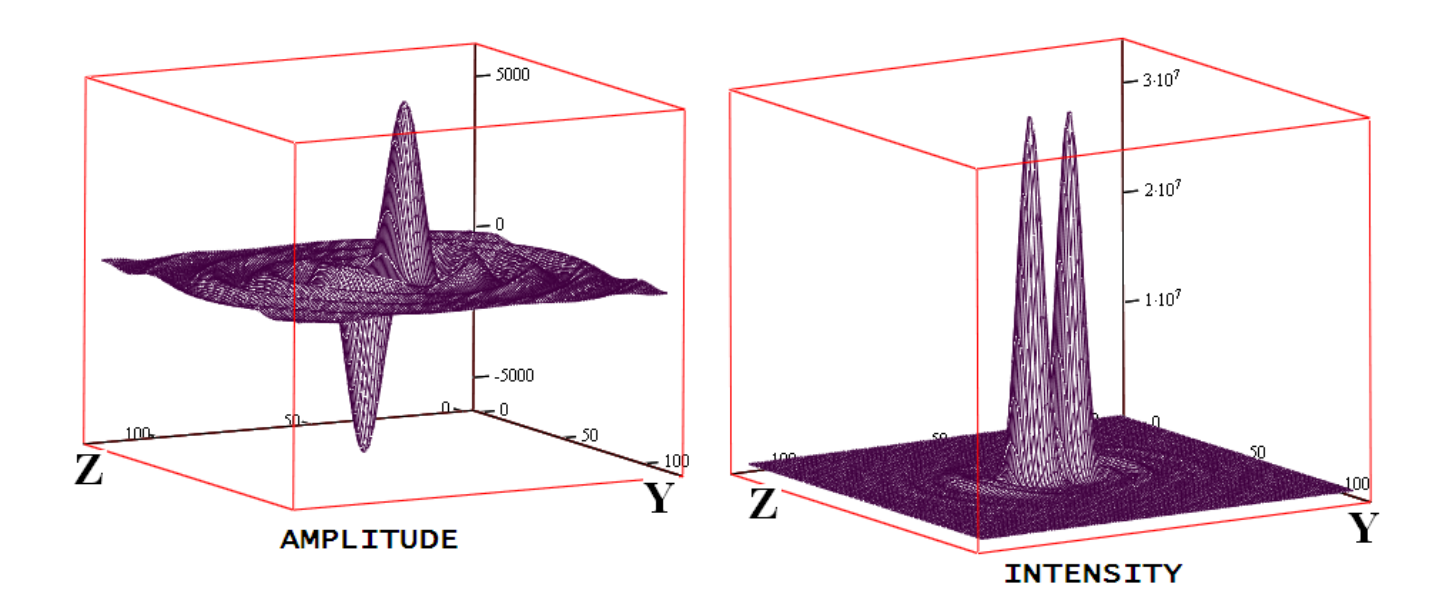


Рис. 22. Поперечная компонента ОУ электрического поля. Отношение значения интенсивности в главном максимуме к максимуму суммарной интенсивности составляет  $\frac{maxI_{oy}}{maxI_{\Sigma}}\cong 1$ .

Главные максимумы интенсивности расположены в точках  $\begin{pmatrix} x=0\\y=0\\z\cong -2\cdot\lambda\end{pmatrix}$ ,  $\begin{pmatrix} x=0\\y=0\\z\cong 2\cdot\lambda\end{pmatrix}$ 

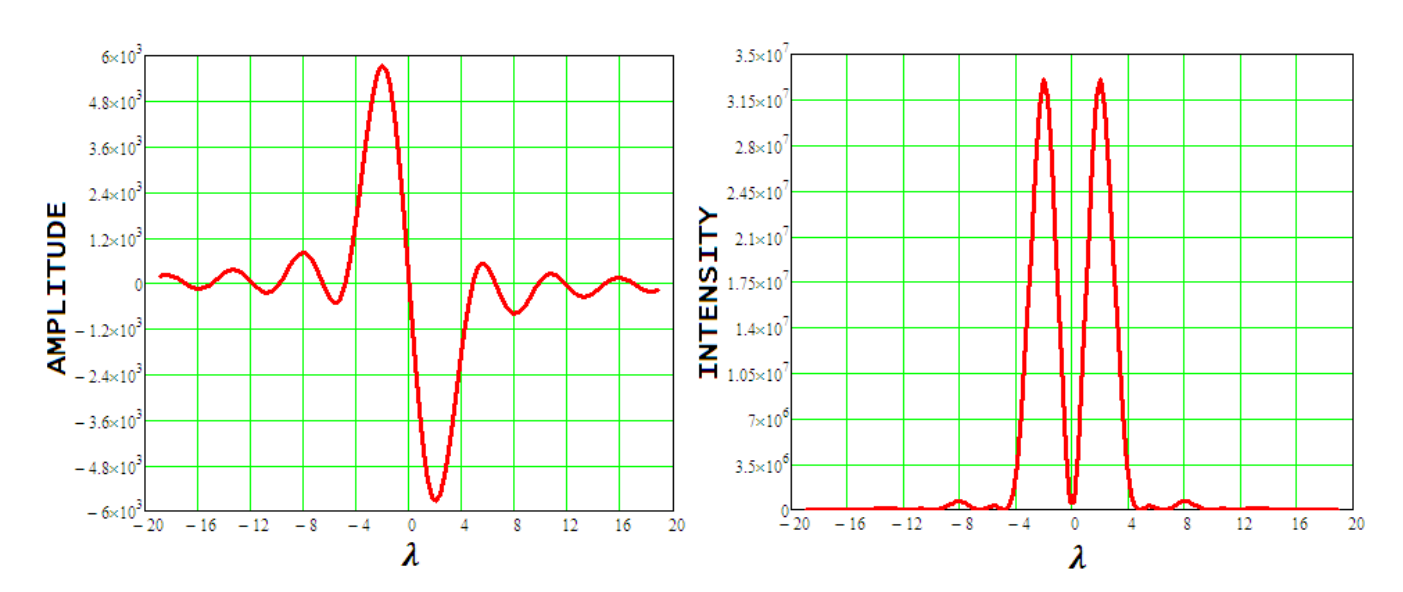


Рис. 23. Поперечная компонента ОУ электрического поля. Сечение в главных максимумах. Ширина главных максимумов интенсивности составляет  $\cong \frac{2\cdot\lambda}{D}$ 

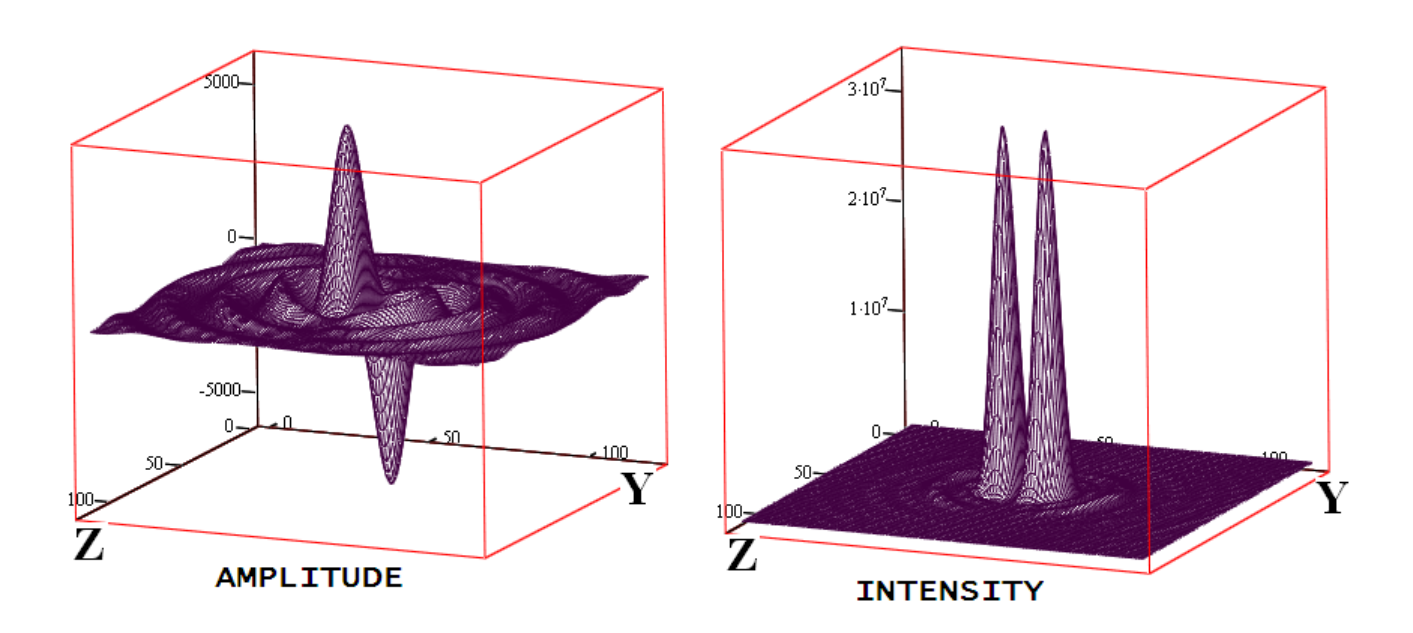


Рис. 24. Поперечная компонента OZ электрического поля. Отношение значения интенсивности в главном максимуме к максимуму суммарной интенсивности составляет  $\frac{maxI_{oz}}{maxI_{\Sigma}} \cong 1$ .

Главные максимумы интенсивности расположены в точках 
$$\begin{pmatrix} x=0\\y\cong -2\cdot\lambda\\z=0\end{pmatrix}$$
,  $\begin{pmatrix} x=0\\y\cong 2\cdot\lambda\\z=0\end{pmatrix}$ 

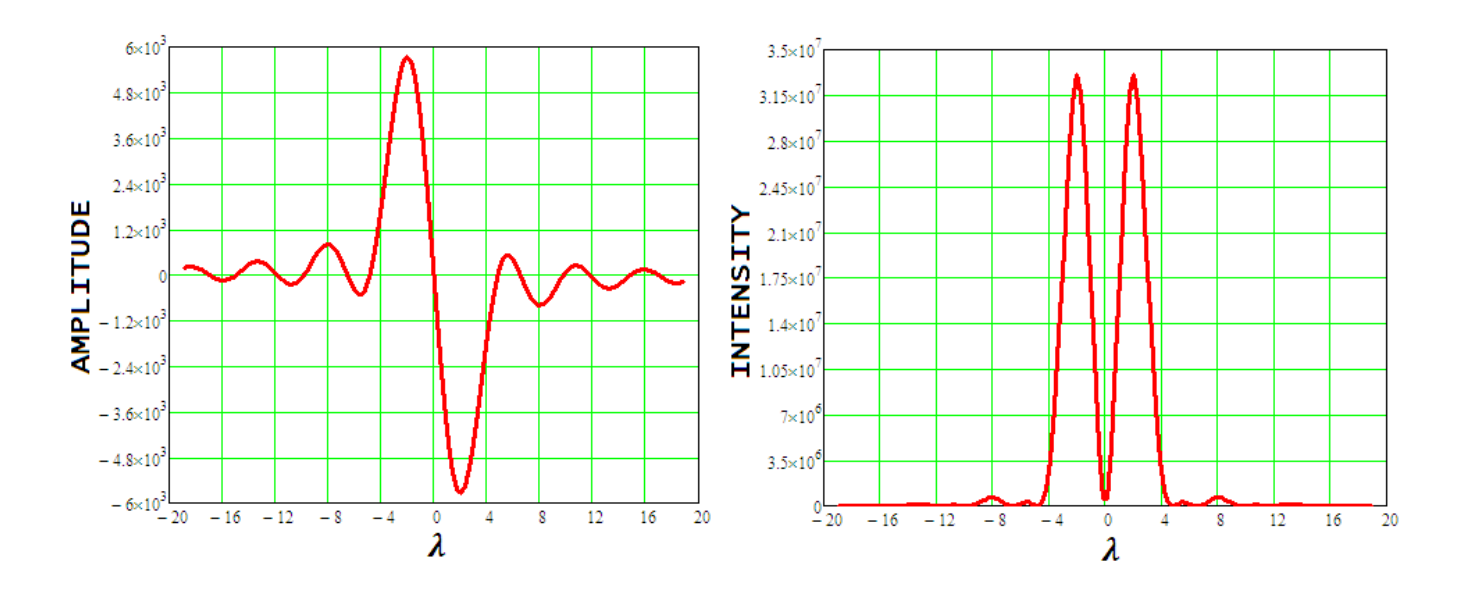


Рис. 25. Поперечная компонента OZ электрического поля. Сечение в главных максимумах. Ширина главных максимумов интенсивности составляет  $\cong \frac{2 \cdot \lambda}{D}$ 

# Азимутальная поляризация излучения.

Вблизи фокуса продольная компонента поля  $E_x(x=0,y,z)=0$ . Структура распределений интенсивностей  $I_{oy}=E_y^2(x=0,y,z)$  и  $I_{oz}=E_z^2(x=0,y,z)$ , приходящихся на поперечные компоненты поля, одинакова (в фокусе поле равно нулю, угловая ширина провала  $\cong \frac{2\cdot \lambda}{D}$ ), но картины распределений «повернуты» на  $\frac{\pi}{2}$  друг относительно друга.

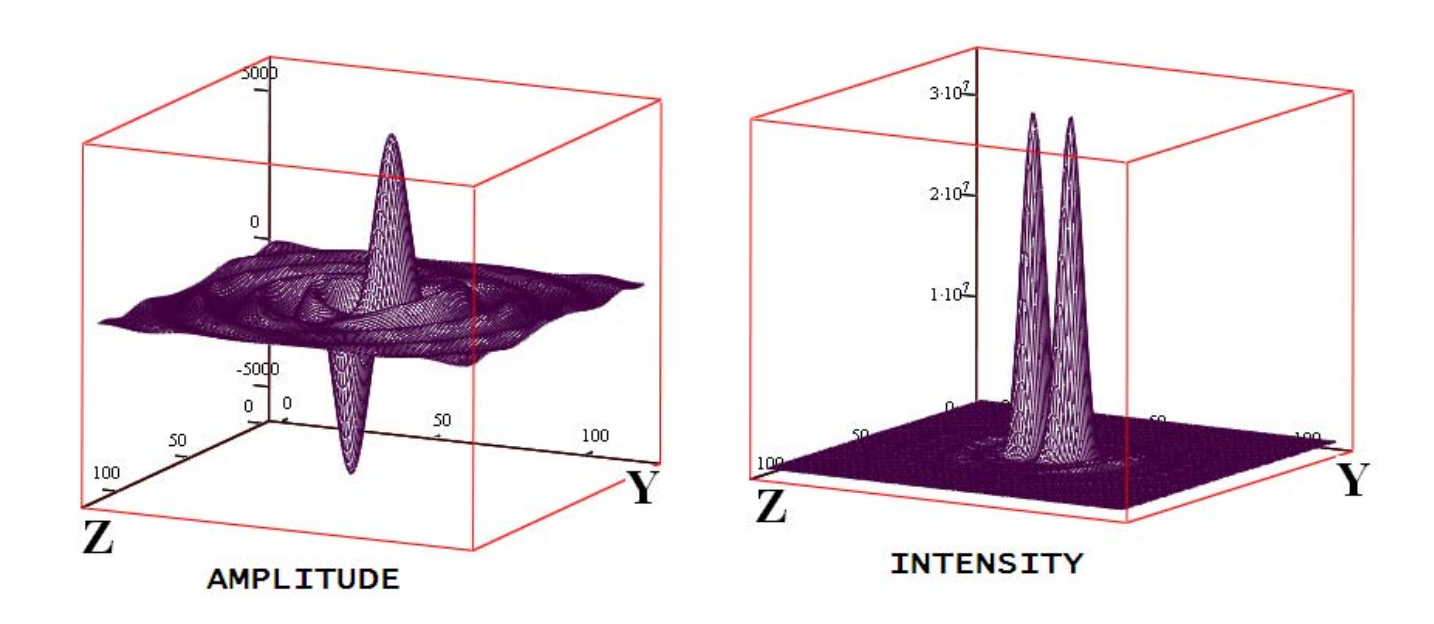


Рис. 26. Поперечная компонента ОУ электрического поля. Отношение значения интенсивности в главном максимуме к максимуму суммарной интенсивности составляет  $\frac{maxI_{oy}}{maxI_{\Sigma}} \cong 1$ .

Главные максимумы интенсивности расположены в точках 
$$\begin{pmatrix} x=0\\ y\cong -2\cdot\lambda\\ z=0 \end{pmatrix}$$
,  $\begin{pmatrix} x=0\\ y\cong 2\cdot\lambda\\ z=0 \end{pmatrix}$ 

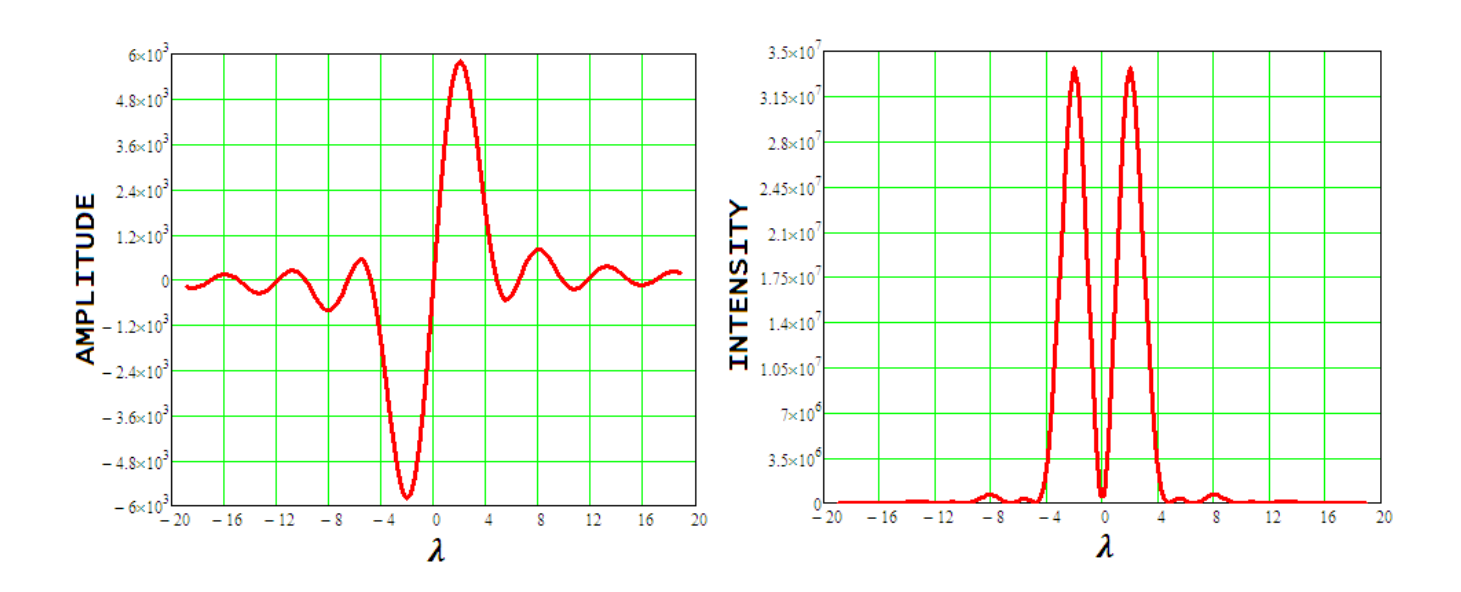


Рис. 27. Поперечная компонента ОУ электрического поля. Сечение в главных максимумах.

Ширина главных максимумов интенсивности составляет  $\cong \frac{2 \cdot \lambda}{D}$ . Ширина провала в фокусе  $\cong \frac{2 \cdot \lambda}{D}$ 

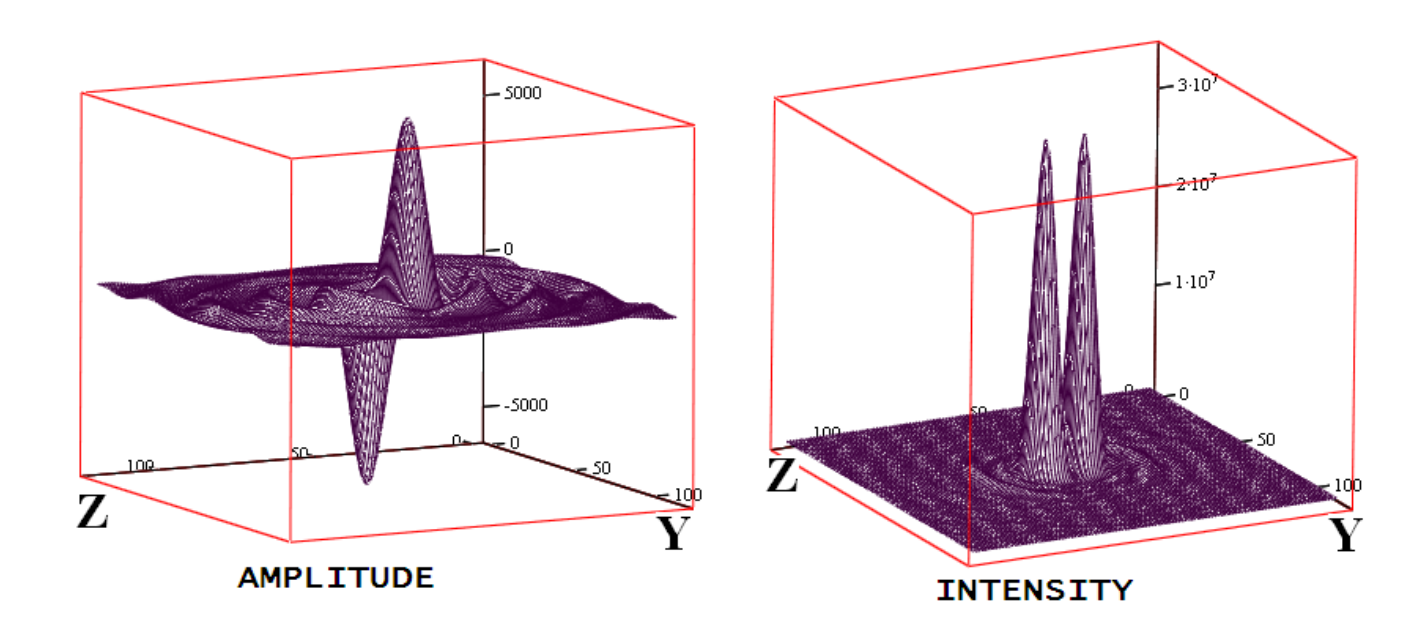


Рис. 28. Поперечная компонента OZ электрического поля. Отношение значения интенсивности в главном максимуме к максимуму суммарной интенсивности составляет  $\frac{maxI_{oz}}{maxI_{\Sigma}}\cong 1$ .

Главные максимумы интенсивности расположены в точках 
$$\begin{pmatrix} x=0\\y=0\\z\cong -2\cdot\lambda \end{pmatrix}$$
,  $\begin{pmatrix} x=0\\y=0\\z\cong 2\cdot\lambda \end{pmatrix}$ 

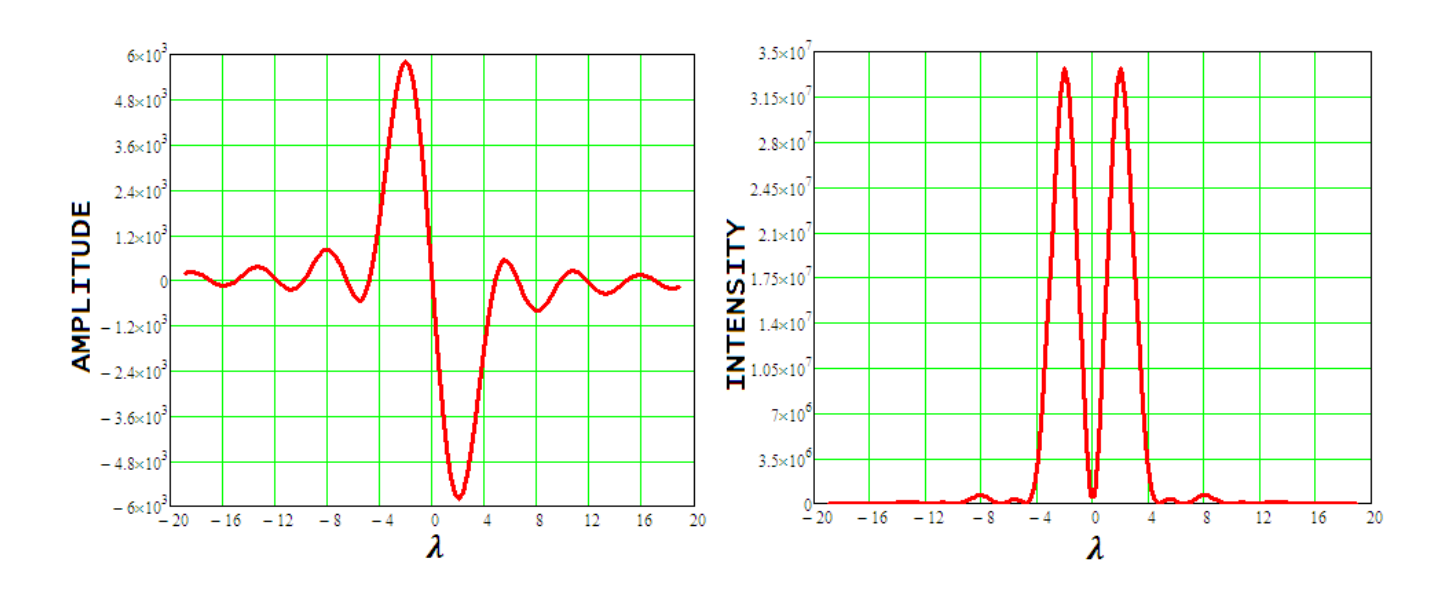


Рис. 29. Поперечная компонента OZ электрического поля. Сечение в главных максимумах. Ширина главных максимумов интенсивности составляет  $\cong \frac{2 \cdot \lambda}{D}$ . Ширина провала в фокусе  $\cong \frac{2 \cdot \lambda}{D}$ 

## Результаты расчетов Магнитноеполе.

Так как в электромагнитной волне вектор  $\vec{B}$  «повернут» относительно вектора  $\vec{E}$  на  $\frac{\pi}{2}$  вокруг волнового вектора  $\vec{k}$ , то структура распределений  $B_{\alpha}(x,y,z)$  ( $\alpha=x,y,z$ ) такая же, как и у  $E_{\beta}(x,y,z)$  ( $\beta=x,y,z$ ). Например, для линейно поляризованного падающего излучения: распределение  $B_{x}(x=0,y,z)$  имеет такую же структуру, как и  $E_{x}(x=0,y,z)$ , только картины распределений «повернуты» на  $\frac{\pi}{2}$  друг относительно друга;  $B_{y}(x=0,y,z)$  имеет такую же структуру, как и  $E_{z}(x=0,y,z)$ ;  $B_{z}(x=0,y,z)$  имеет такую же структуру, как и  $E_{y}(x=0,y,z)$ .

# Линейная поляризация падающего излучения.

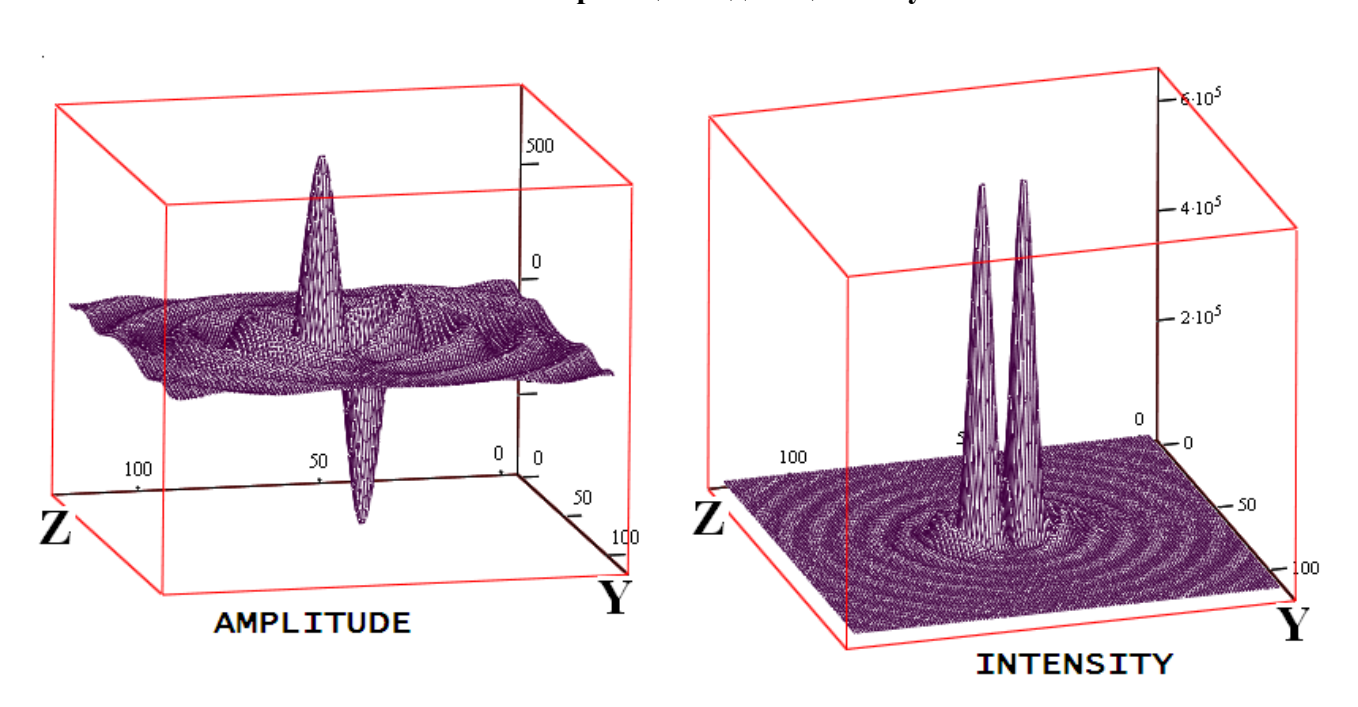


Рис. 30. Продольная компонента ОХ магнитного поля. Отношение значения интенсивности в главных максимумах к максимуму суммарной интенсивности:  $\frac{I_{ox}}{I_{\Sigma}} \cong 10^{-3}$ .

Максимумы интенсивности расположены в точках 
$$\begin{pmatrix} x=0\\y=0\\z\cong -2\cdot\lambda \end{pmatrix}$$
,  $\begin{pmatrix} x=0\\y=0\\z\cong 2\cdot\lambda \end{pmatrix}$ 

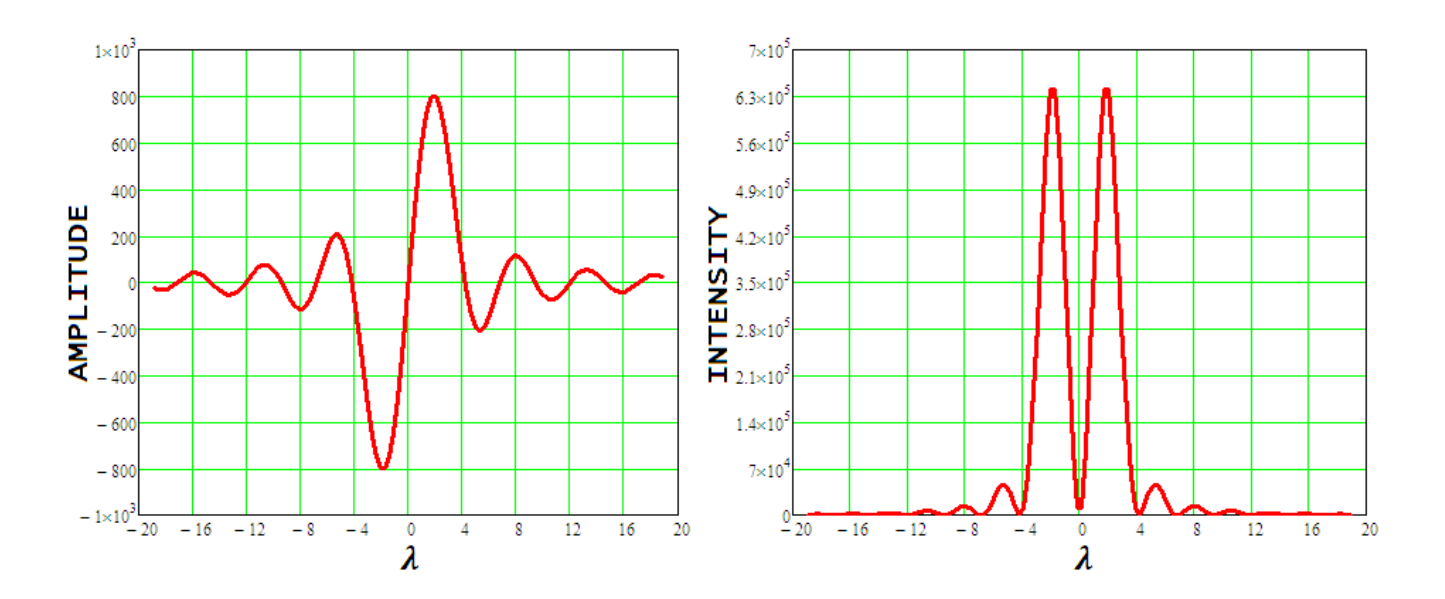


Рис. 31. Продольная компонента ОХ магнитного поля. Сечения в главных максимумах. В фокусе F продольная компонента магнитного поля равна нулю. Ширина главных максимумов интенсивности  $\cong \frac{2 \cdot \lambda}{D}$ , ширина провала в фокусе  $\cong \frac{2 \cdot \lambda}{D}$ 

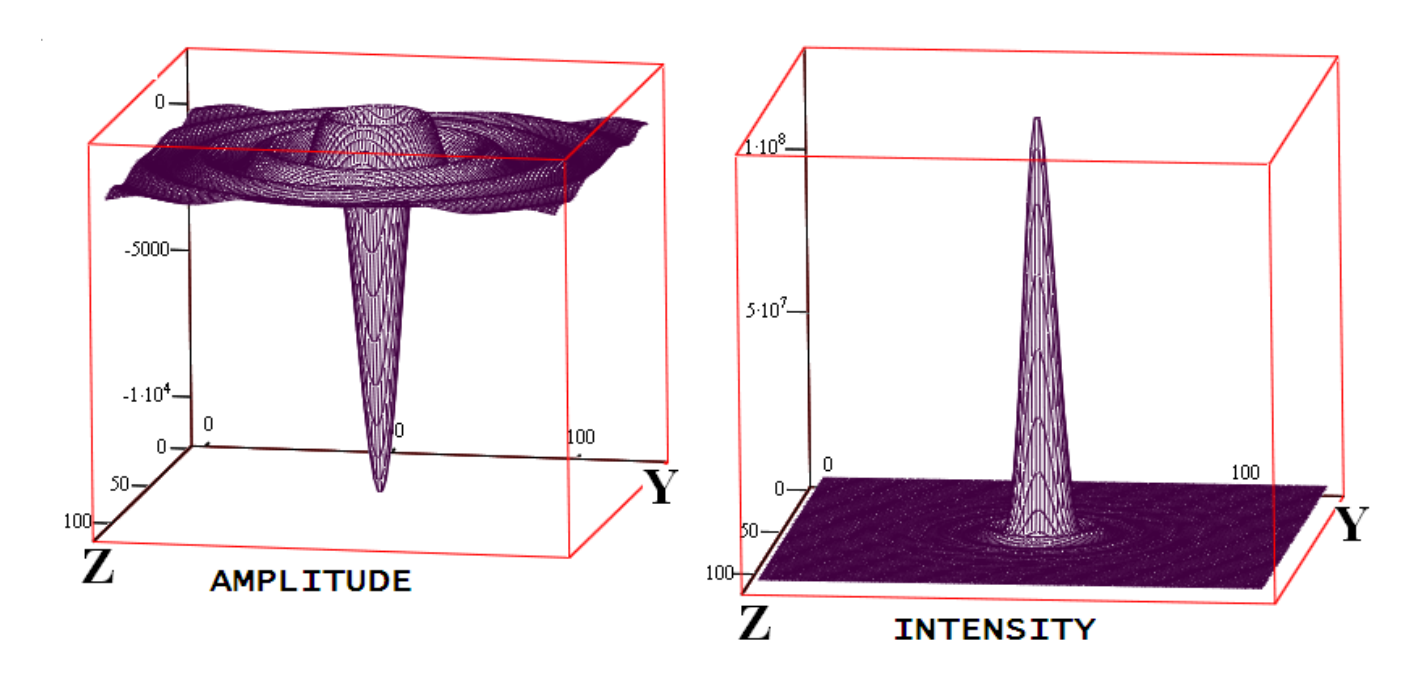


Рис. 32. Поперечная компонента ОУ магнитного поля. Отношение значения интенсивности в главном максимуме к максимуму суммарной интенсивности:  $\frac{l_{oy}}{l_{\Sigma}} \cong 1$ .

Максимум интенсивности расположен в точке 
$$\begin{pmatrix} x=0\\y=0\\z=0 \end{pmatrix}$$

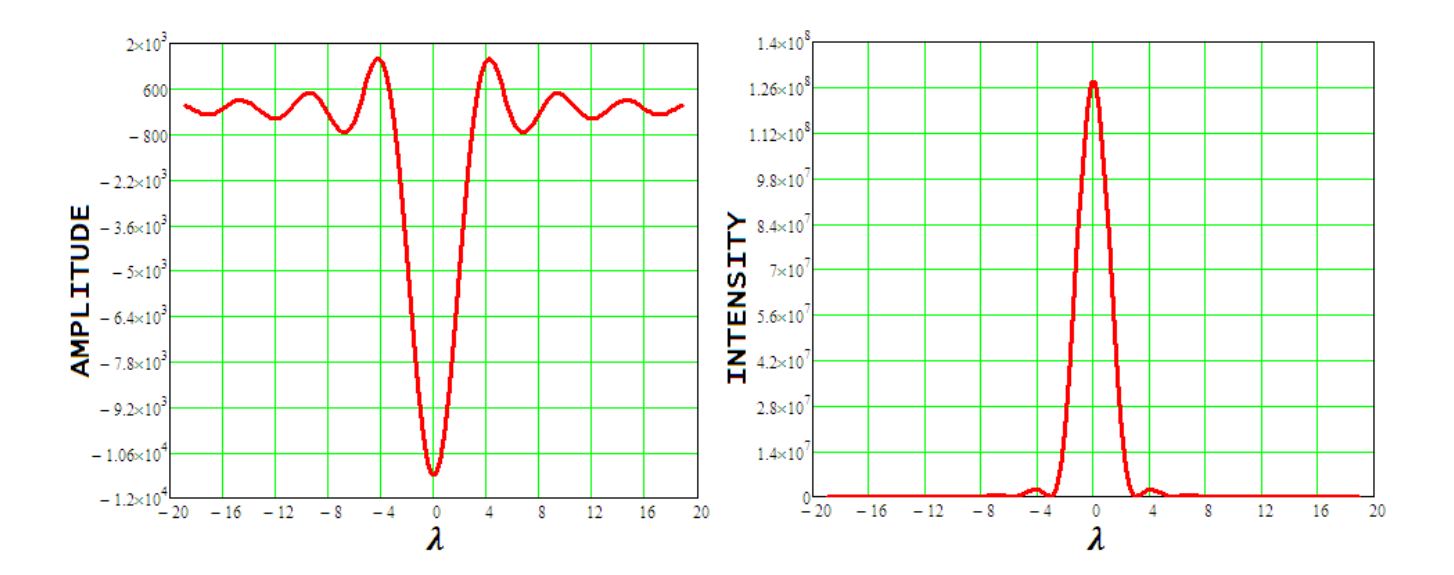


Рис. 33. Поперечная компонента ОУ магнитного поля. Сечение в главном максимуме. Ширина максимума интенсивности  $\cong \frac{4\cdot \lambda}{D}$ 

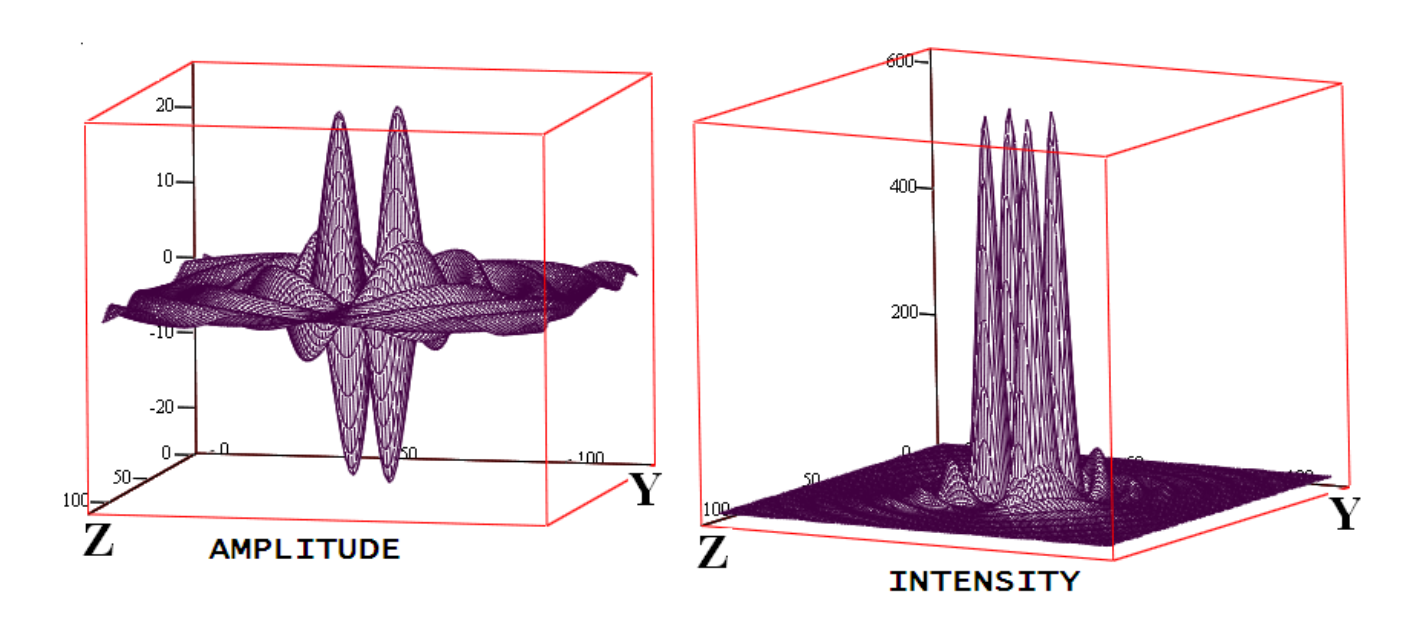


Рис. 34. Поперечная компонента OZ магнитного поля. Отношение значения интенсивности в главных максимумах к максимуму суммарной интенсивности:  $\frac{I_{oz}}{I_{\Sigma}} \cong 10^{-5}$ . Максимумы

интенсивности расположены в точках 
$$\begin{pmatrix} x=0\\y\cong 2\cdot\lambda\\z\cong 2\cdot\lambda \end{pmatrix}$$
,  $\begin{pmatrix} x=0\\y\cong 2\cdot\lambda\\z\cong -2\cdot\lambda \end{pmatrix}$ ,  $\begin{pmatrix} x=0\\y\cong -2\cdot\lambda\\z\cong 2\cdot\lambda \end{pmatrix}$ ,  $\begin{pmatrix} x=0\\y\cong -2\cdot\lambda\\z\cong 2\cdot\lambda \end{pmatrix}$ 

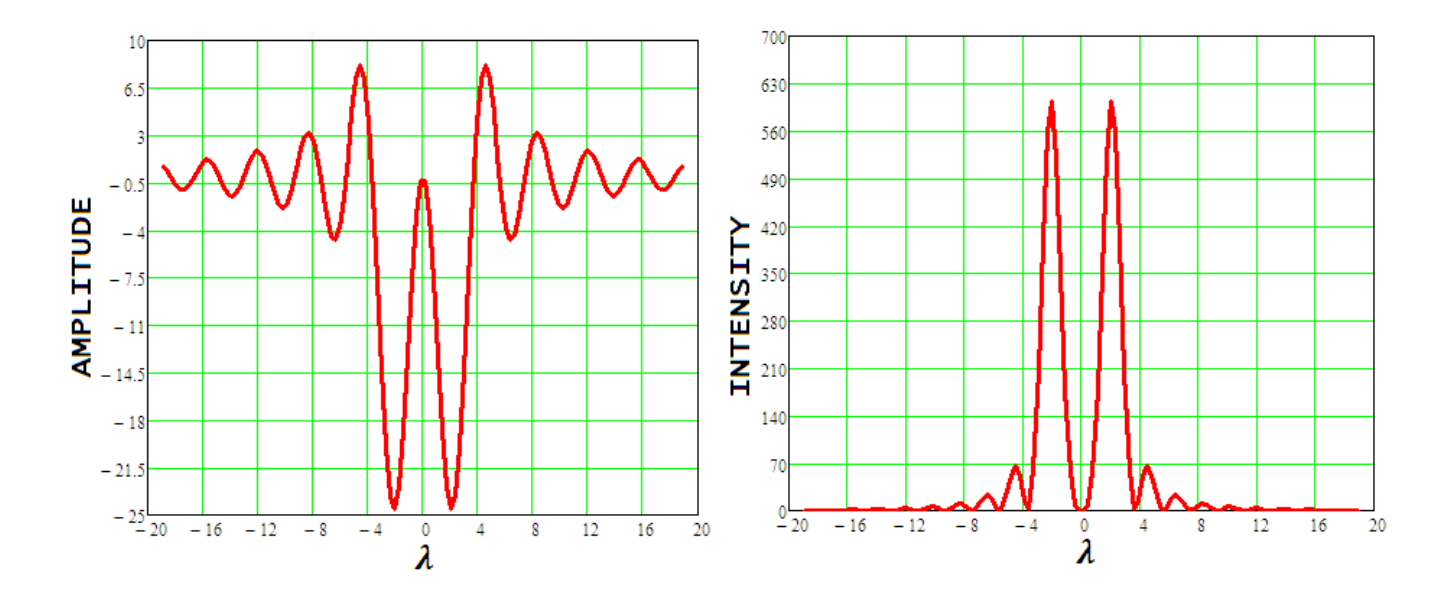


Рис. 35. Поперечная компонента OZ магнитного поля. Диагональное сечение в главных максимумах. В фокусе F  $B_z=0$ , ширина провала  $\cong \frac{4\cdot \lambda}{D}$ ; ширина максимумов интенсивности  $\cong \frac{2\cdot \lambda}{D}$ 

# Радиальная поляризация падающего излучения.

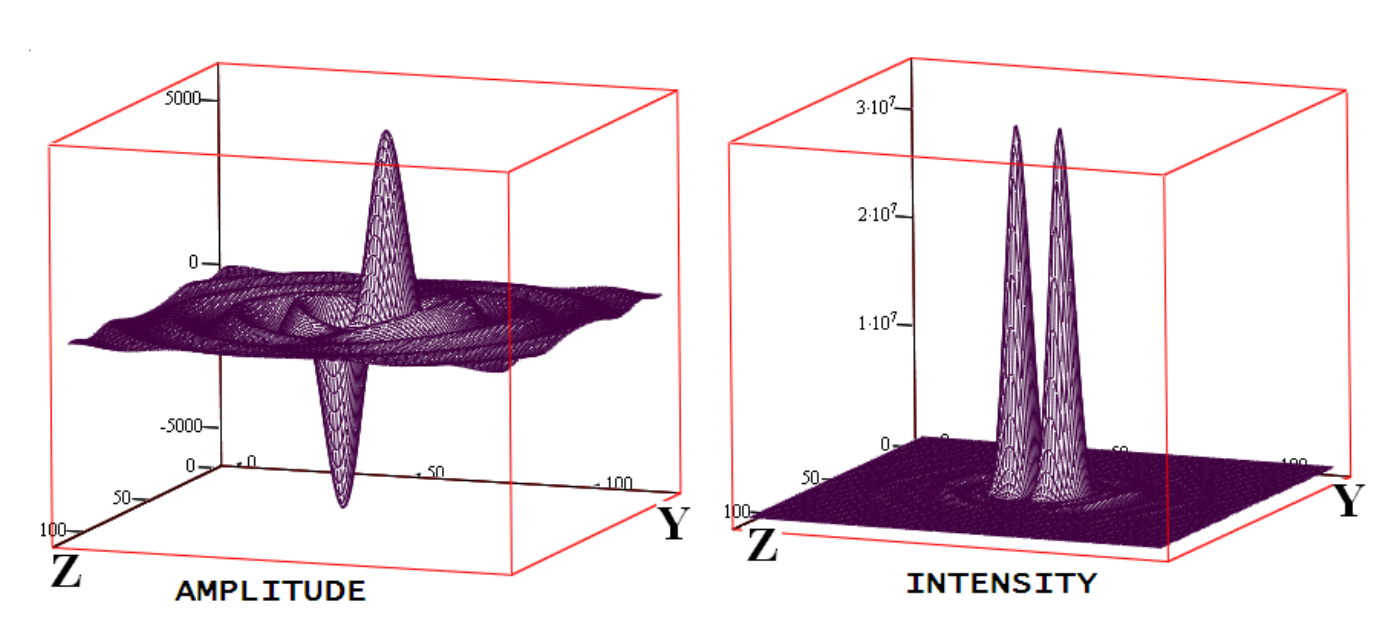


Рис. 36. Поперечная компонента ОУ магнитного поля. Отношение значения интенсивности в главных максимумах к максимуму суммарной интенсивности:  $\frac{I_{oy}}{I_{\Sigma}} \cong 1$ .

Максимумы интенсивности расположены в точках 
$$\begin{pmatrix} x=0\\y\cong -2\cdot\lambda\\z=0\end{pmatrix}$$
,  $\begin{pmatrix} x=0\\y\cong 2\cdot\lambda\\z=0\end{pmatrix}$ 

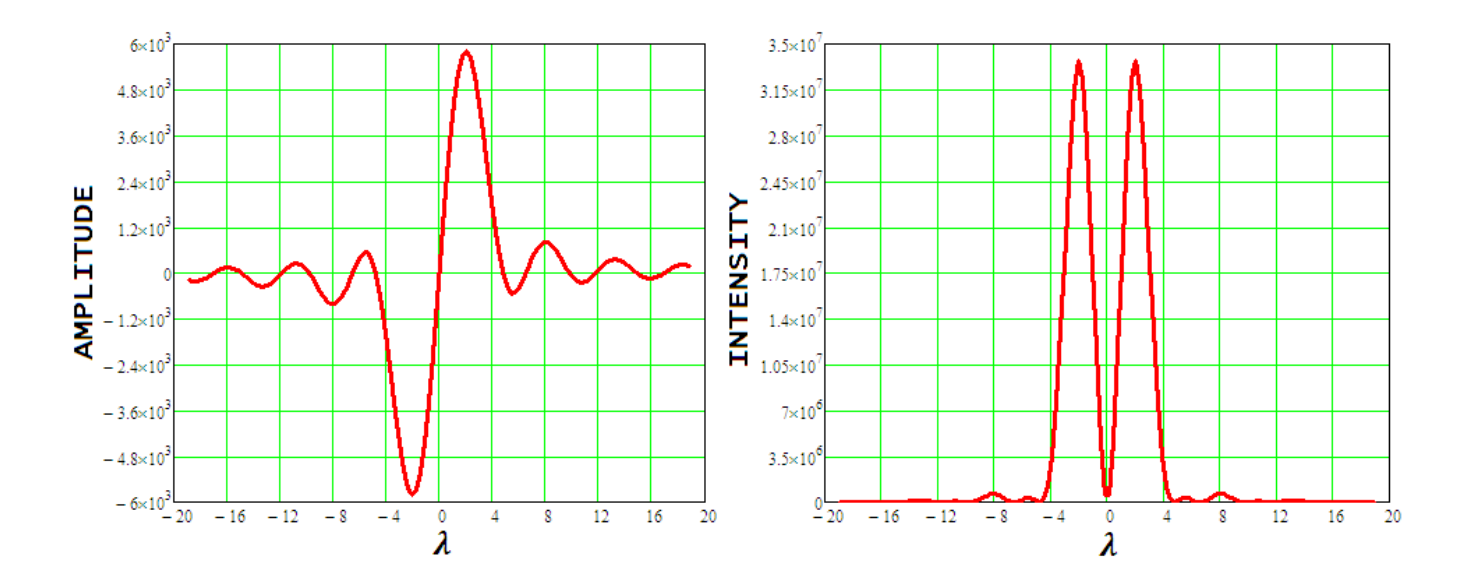


Рис. 37. Поперечная компонента ОУ магнитного поля. Сечение в главном максимуме. В фокусе F  $B_y=0$ , ширина провала  $\cong \frac{2\cdot \lambda}{D}$ ; ширина максимумов интенсивности  $\cong \frac{2\cdot \lambda}{D}$ 

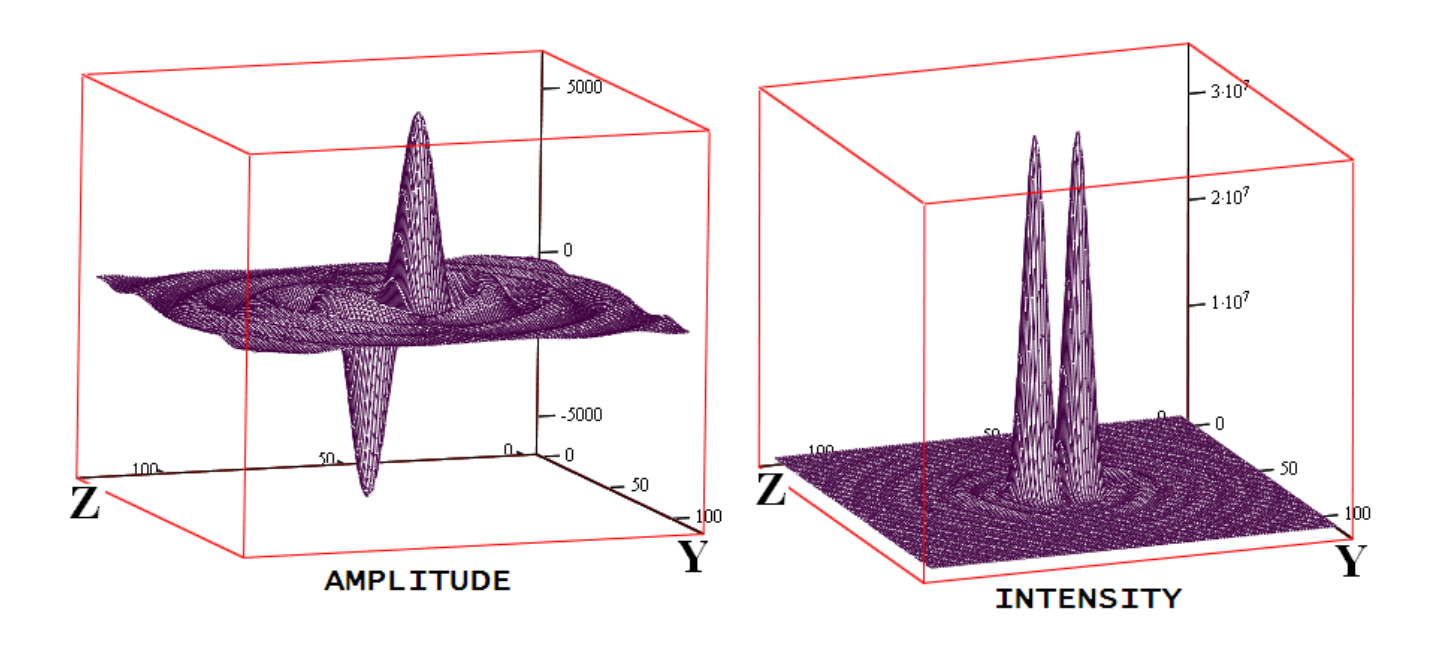


Рис. 38. Поперечная компонента OZ магнитного поля. Отношение значения интенсивности в главных максимумах к максимуму суммарной интенсивности:  $\frac{I_{oz}}{I_{\Sigma}} \cong 1$ .

Максимумы интенсивности расположены в точках 
$$\begin{pmatrix} x=0\\y=0\\z\cong -2\cdot\lambda \end{pmatrix}$$
,  $\begin{pmatrix} x=0\\y=0\\z\cong 2\cdot\lambda \end{pmatrix}$ 

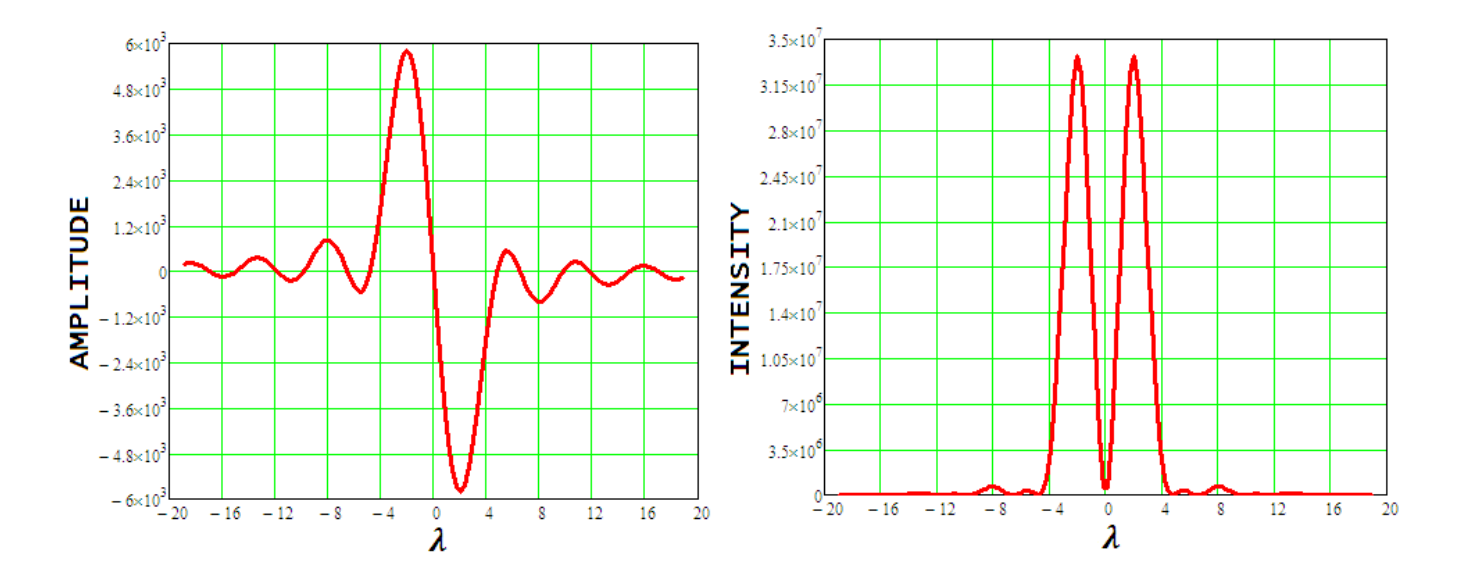


Рис. 39. Поперечная компонента OZ магнитного поля. Сечения в главных максимумах. В фокусе F  $B_z=0$ , ширина провала  $\cong \frac{2\cdot \lambda}{D}$ ; ширина максимумов интенсивности  $\cong \frac{2\cdot \lambda}{D}$ 

# Азимутальная поляризация падающего излучения.

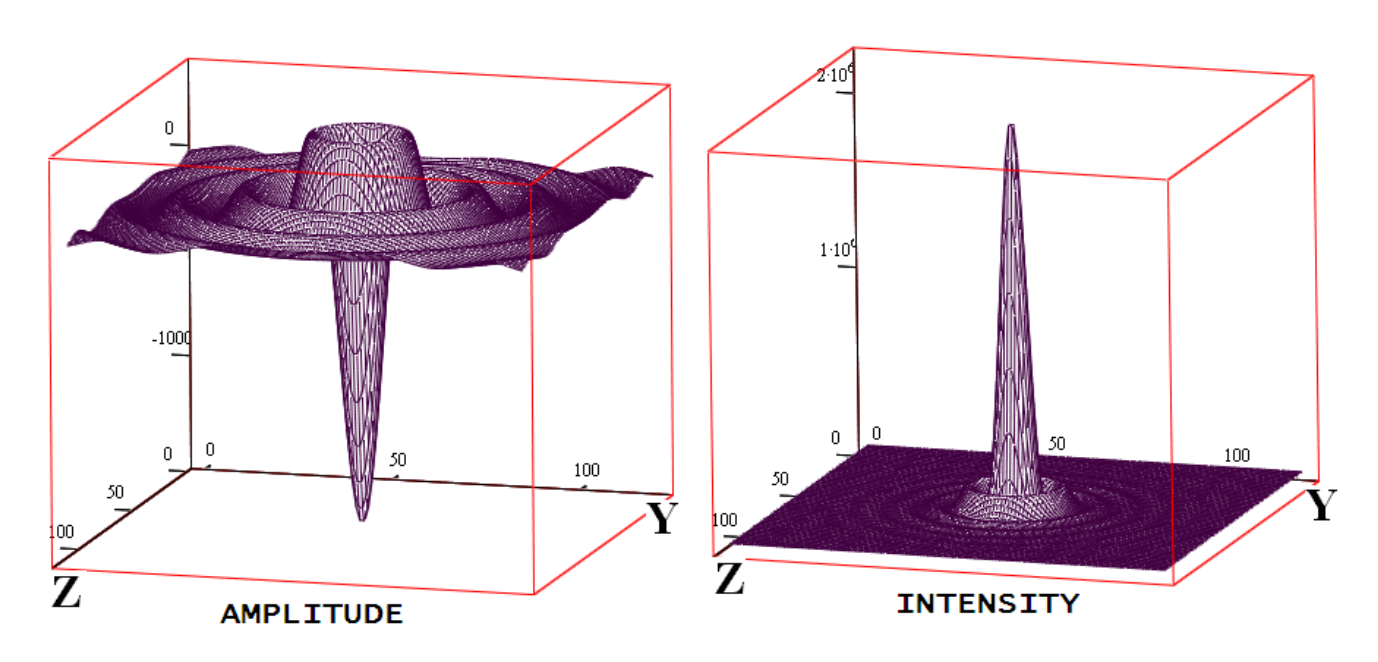


Рис. 40. Продольная компонента ОХ магнитного поля. Отношение значения интенсивности в главном максимуме к максимуму суммарной интенсивности:  $\frac{I_{ox}}{I_{\Sigma}} \cong 10^{-1}$ .

Максимум интенсивности расположен в точке 
$$\begin{pmatrix} x = 0 \\ y = 0 \\ z = 0 \end{pmatrix}$$

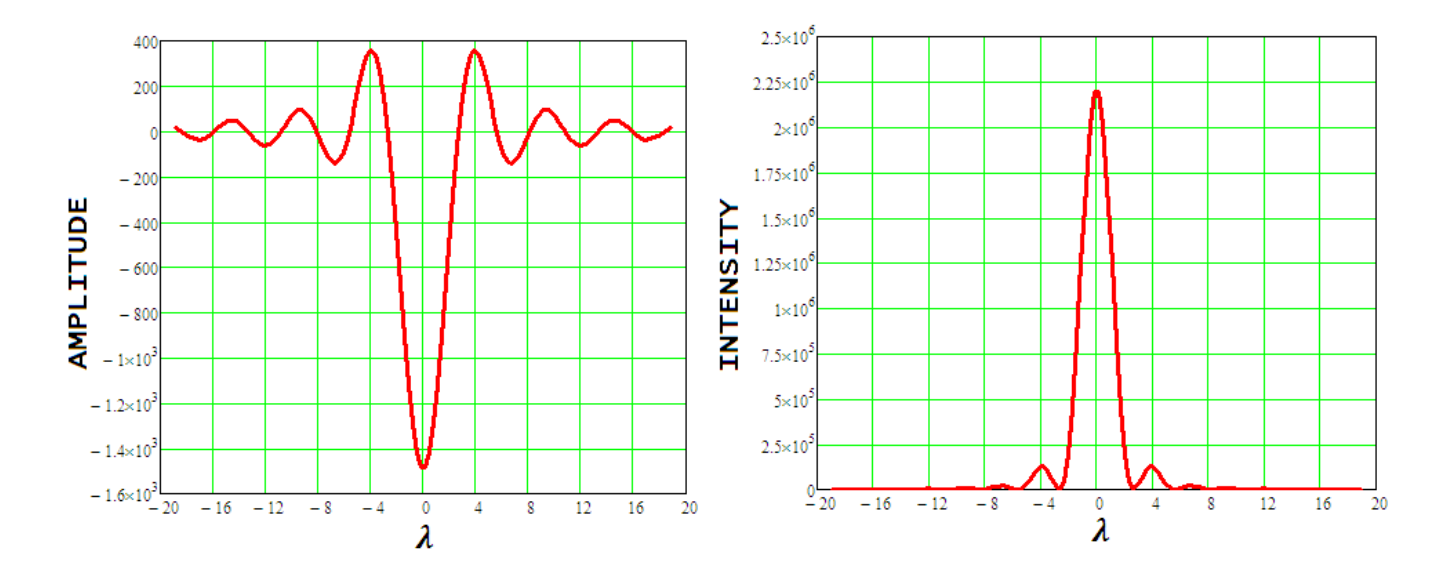


Рис. 41. Продольная компонента ОХ магнитного поля. Сечение в главном максимуме. Ширина максимума интенсивности  $\cong \frac{4\cdot \lambda}{D}$ 

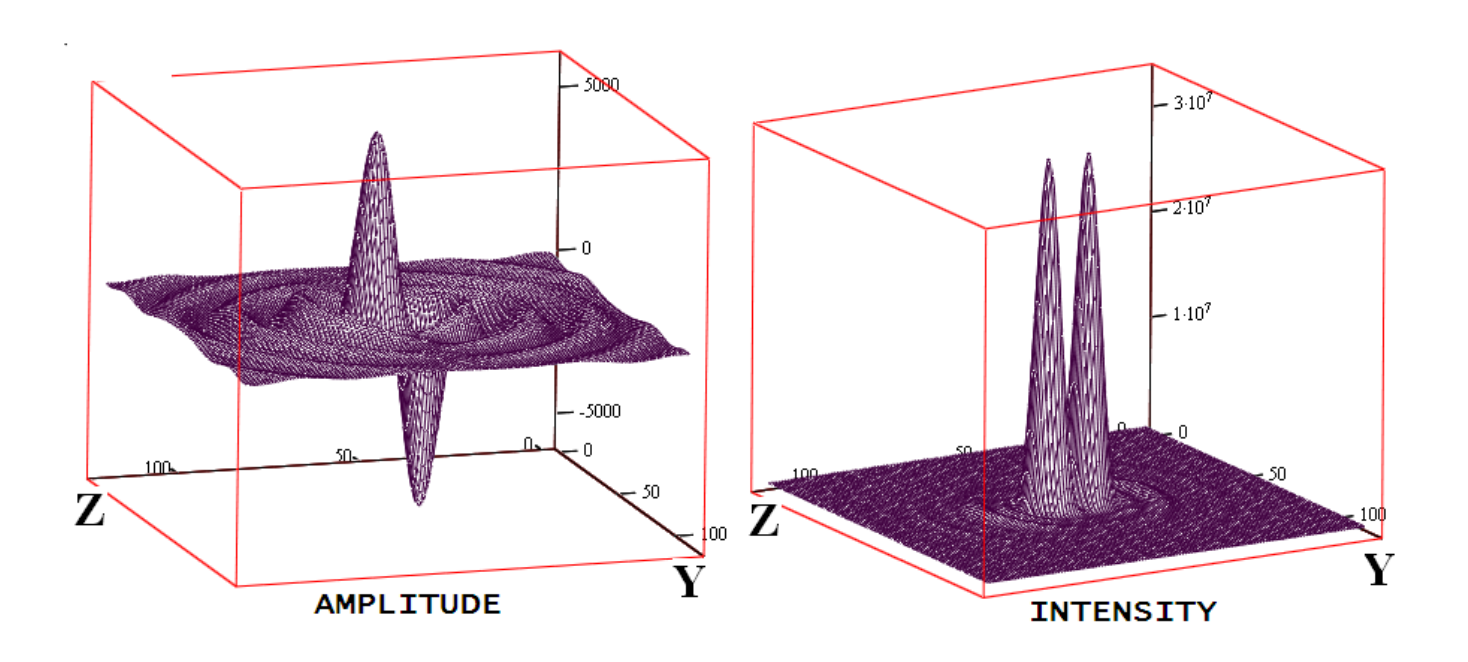


Рис. 42. Поперечная компонента ОУ магнитного поля. Отношение значения интенсивности в главных максимумах к максимуму суммарной интенсивности:  $\frac{I_{oy}}{I_{\Sigma}} \cong 1$ .

Максимумы интенсивности расположены в точках 
$$\begin{pmatrix} x=0\\y=0\\z\cong -2\cdot\lambda \end{pmatrix}$$
,  $\begin{pmatrix} x=0\\y=0\\z\cong 2\cdot\lambda \end{pmatrix}$ 

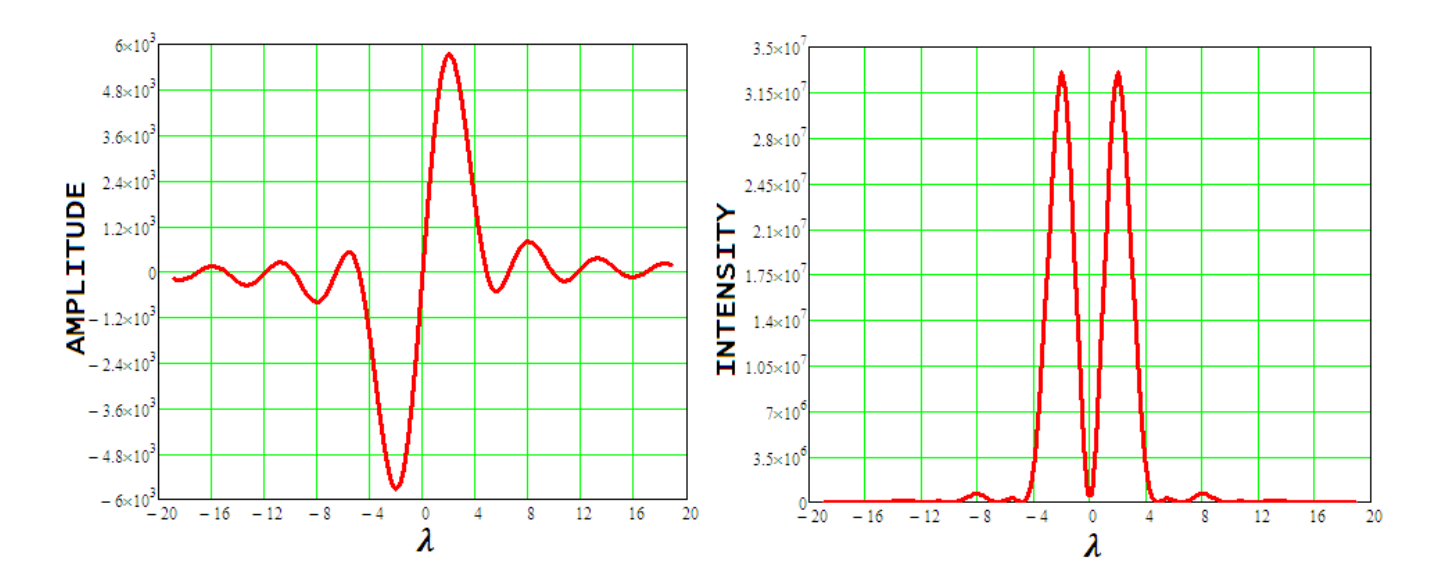


Рис. 43. Поперечная компонента ОУ магнитного поля. Сечение в главных максимумах. В фокусе F  $B_y=0$ , ширина провала  $\cong \frac{2\cdot\lambda}{D}$ ; ширина максимумов интенсивности  $\cong \frac{2\cdot\lambda}{D}$ 

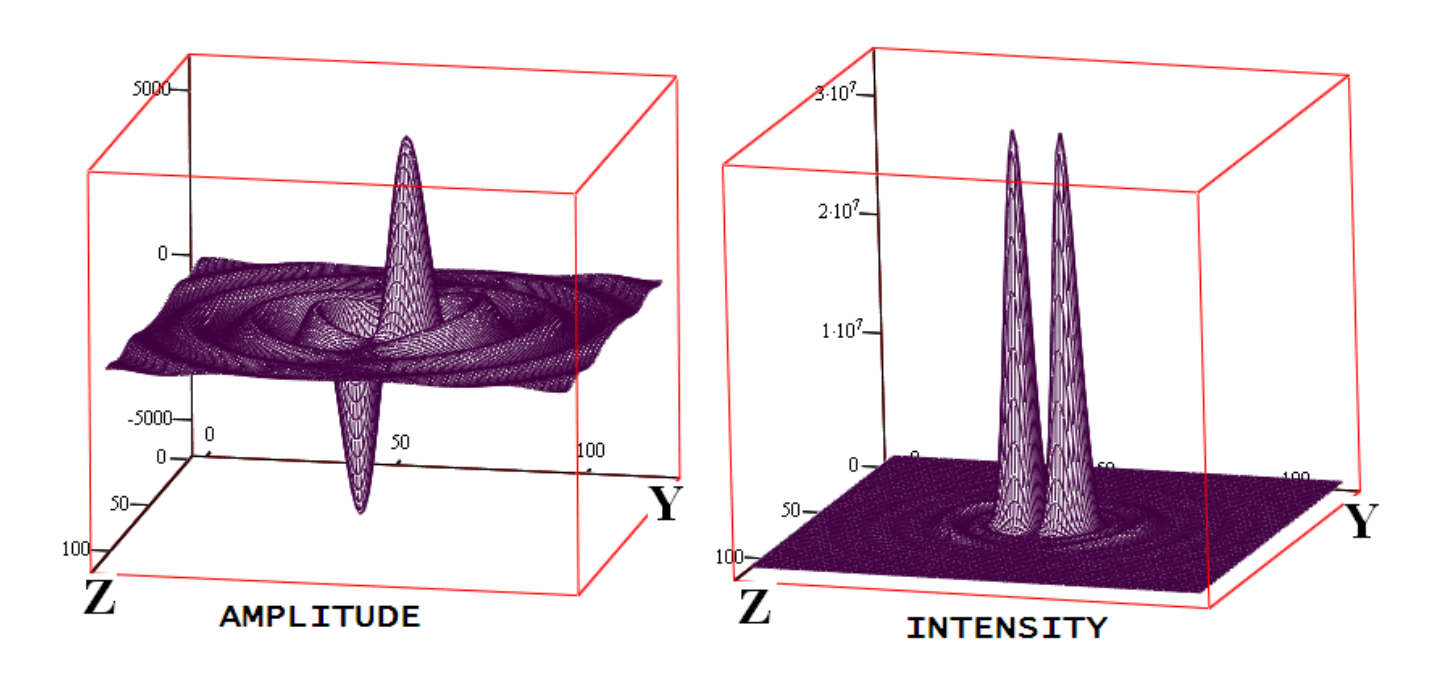


Рис. 44. Поперечная компонента OZ магнитного поля. Отношение значения интенсивности в главных максимумах к максимуму суммарной интенсивности:  $\frac{I_{oz}}{I_{\Sigma}}\cong 1$ .

Максимумы интенсивности расположены в точках 
$$\begin{pmatrix} x=0\\y\cong -2\cdot\lambda\\z=0\end{pmatrix}$$
,  $\begin{pmatrix} x=0\\y\cong 2\cdot\lambda\\z=0\end{pmatrix}$ 

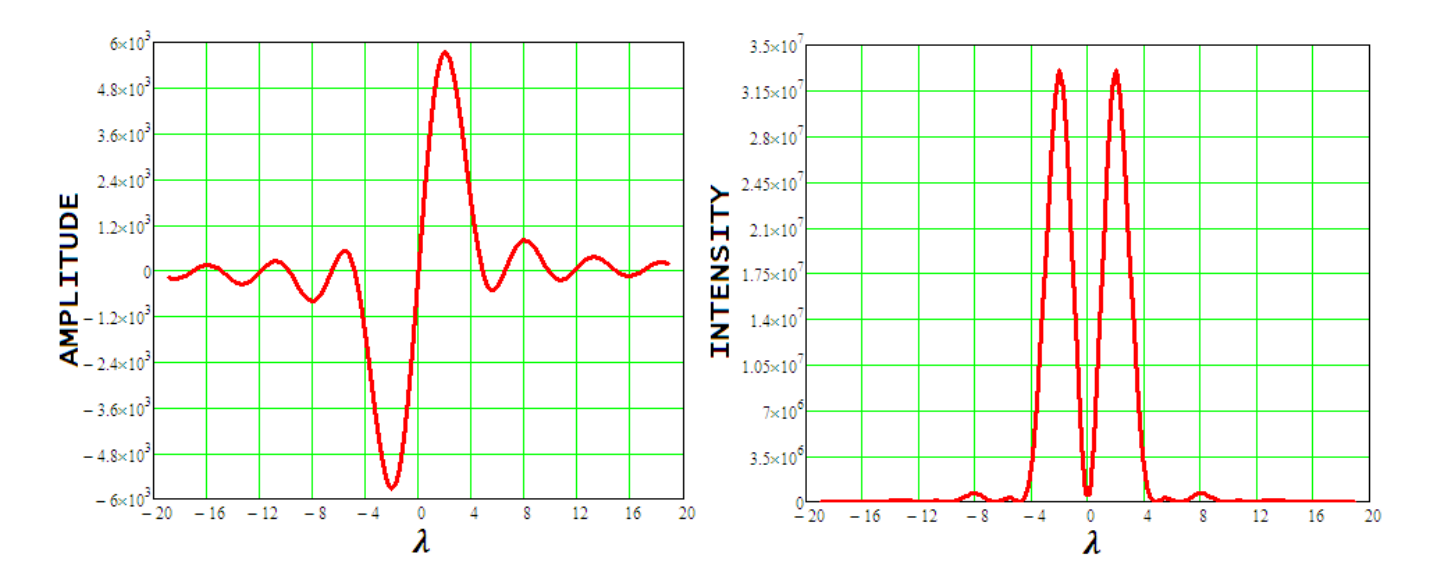


Рис. 45. Поперечная компонента OZ магнитного поля. Сечение в главных максимумах. В фокусе F  $B_z=0$ , ширина провала  $\cong \frac{2\cdot \lambda}{D}$ ; ширина максимумов интенсивности  $\cong \frac{2\cdot \lambda}{D}$ 

# Сравнениеметодов расчета.

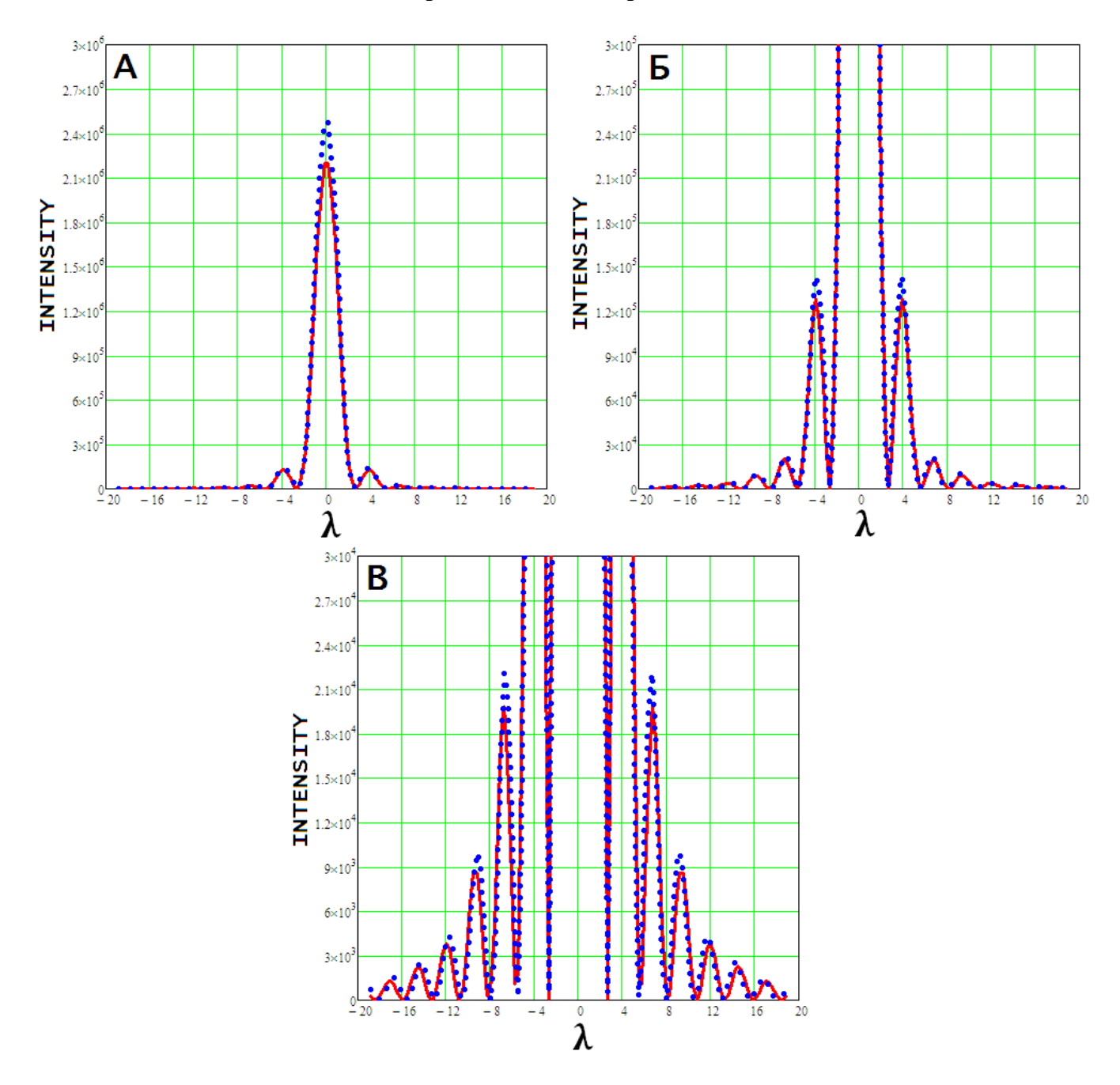


Рис. 46. Распределение интенсивности, приходящейся на продольную компоненту  $E_{x}$  поля в фокальной плоскости. Падающее излучение радиально поляризовано. Сплошная линия — расчет по Кирхгофу, точки — расчет по Дебаю. А), Б), В) — одно и то же распределение, но в разных интервалах изменения интенсивности.

На рис. 46 приведено сравнение результатов расчета интенсивности, приходящейся на продольную компоненту  $E_x$  поля в фокальной плоскости (радиальная поляризация падающего излучения). Присутствуют небольшие относительные различия в максимумах распределения.

В целом, результаты, полученные двумя методами расчета, структурно практически совпадают в пределах десятков длин волн (размер области, в которой производится расчет).

Расчет по методу Кирхгофа даже для областей наблюдения малых размеров (единицы длины волны) требует значительного машинного времени, примерно в 60 раз больше, чем по методу Дебая (для всех трех типов поляризации).

$$\frac{T_{Debye}}{T_{Kirchoff}} \cong \frac{1}{60}.$$

# Модельмногомодового поля. Сравнение расчетов сэкспериментом.

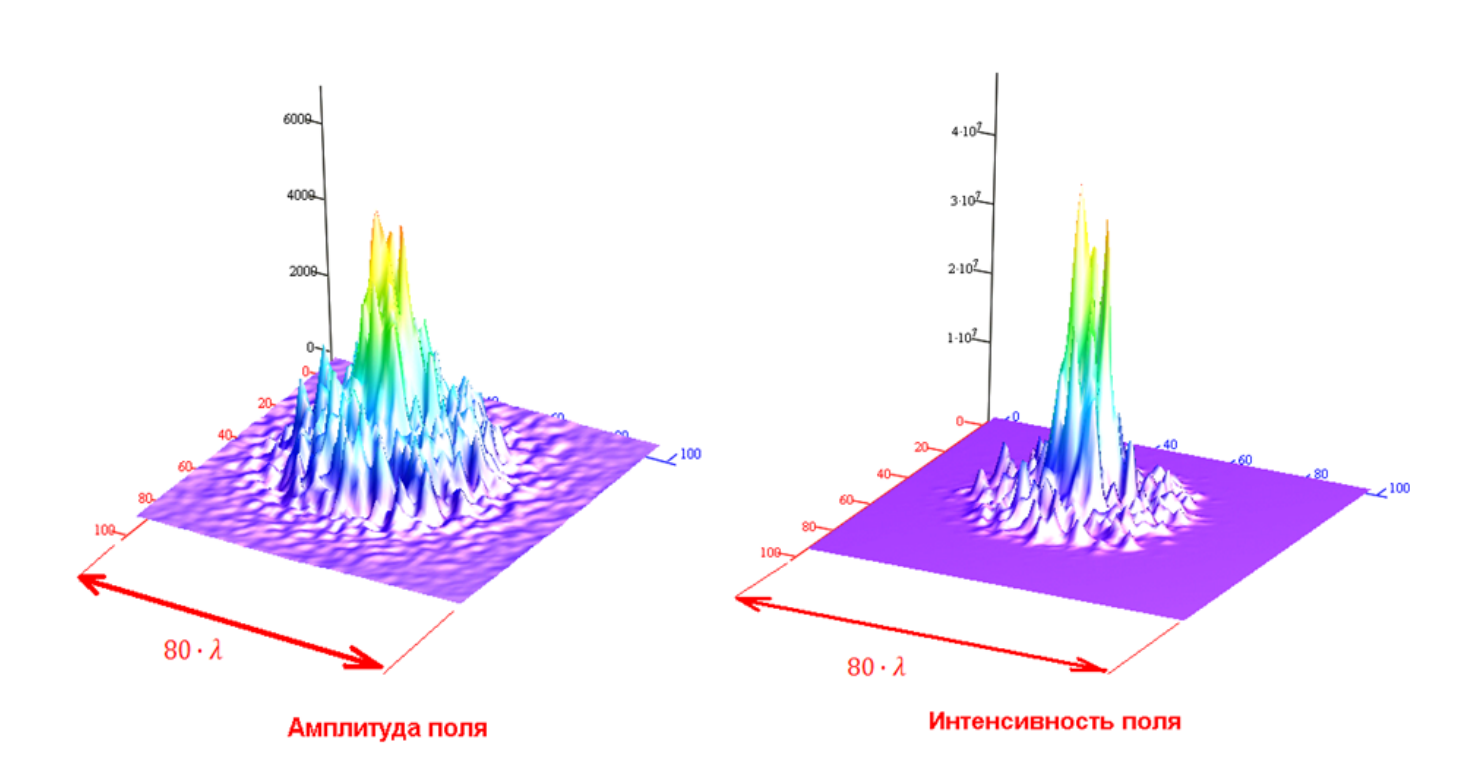


Рис. 47. Распределение многомодового поля в фокусе линзы. Расчет по методу Кирхгофа

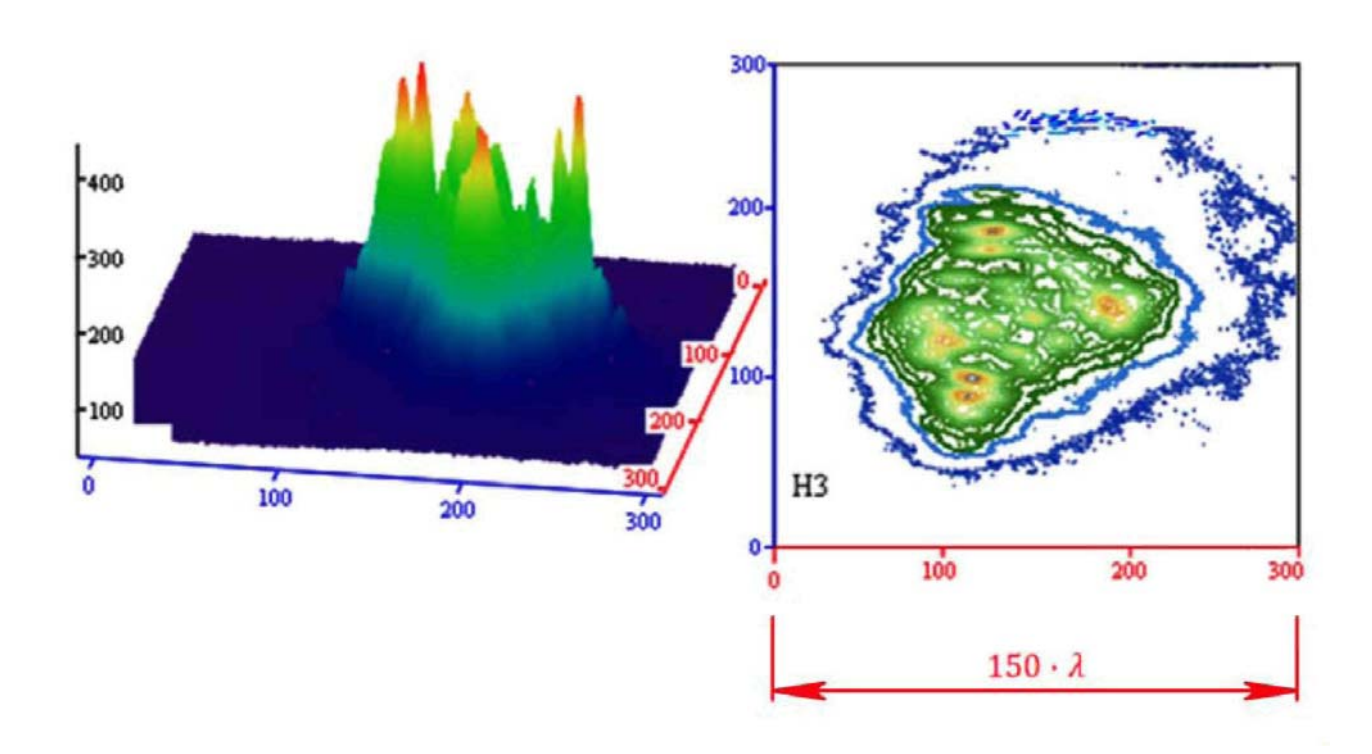


Рис. 48. Распределение поля Nd – лазера в фокусе линзы. Экспериментальные данные

На (Рис. 47.) приведен результат расчета по методу Кирхгофу дифракционной картины в фокусе линзы. Модель падающего на линзу лазерного импульса (данная модель поля описана в работе [8]): поле представляет собой 90 плоских волн со случайным углом между волновыми векторами  $\vec{k}$  (в пределах от 0 до  $4 \cdot \frac{\lambda}{D}$ , где  $\lambda = 1.06$  мкм, D = 4см.); падающее излучение состоит из нескольких частотных компонент. Временная форма лазерного импульса описывается огибающей:

$$\delta(t) = \left(1 - \frac{t}{\tau}\right) \cdot \frac{t}{\tau} \tag{49}$$

где  $\tau$  - длительность импульса.

Многокомпонентный спектр лазерного импульса апроксимируется функцией:

$$f(j) = \left(1 - \frac{j}{N_L}\right) \cdot \frac{j}{N_L} \tag{50}$$

где j – номер компоненты,  $N_L$  - количество компонент.

К примеру, излучение Nd – лазера обычно состоит из 12 компонент. Однако в данной работе рассматриваются только 4 компоненты с целью упрощения и ускорения расчетов. Фазовый множитель каждой компоненты имеет вид:

$$f_e(j,t) = \exp\left\{i \cdot \left[\omega_0 \cdot \left(1 + \left(\frac{\Delta n_{\lambda}}{n_{\lambda}}\right) \cdot \left(j - \frac{N_L}{2}\right) \cdot \left(t - \frac{\tau}{2}\right) - \Phi_j\right)\right]\right\} \cdot f(j)$$
 (51)

где  $\omega_0$  - частота в максимуме спектральной линии,  $n_\lambda$  - число периодов в импульсе длительностью  $\tau$ ,  $\Delta n_\lambda$  - выраженный в количестве периодов частотный интервал между соседними эквидистантными компонентами,  $\Phi_i$  - случайная фаза.

Таким образом, получаем следующие выражения для напряженностей поля:

$$\vec{E}(\vec{r},t) = \overrightarrow{A_0}(\vec{r}) \cdot \sum_{q}^{N} \left[ \left( \sum_{j=0}^{N_L} f_e(j,t) \right) \cdot e^{-i \cdot \overrightarrow{k_q} \cdot \vec{r}} \right] \cdot \delta(t) \cdot e^{i \cdot \psi(t)}$$
(52)

$$\vec{H}(\vec{r},t) = \overrightarrow{A_0}(\vec{r}) \cdot \sum_{q}^{N} \left[ \left( \sum_{j=0}^{N_L} f_e(j,t) \right) \cdot e^{-i \cdot \overrightarrow{k_q} \cdot \vec{r}} \right] \cdot \delta(t) \cdot e^{i \cdot \psi(t)}$$
(53)

где N — число угловых мод со случайным направлением волнового вектора  $\overrightarrow{k_q}$ ,  $\overrightarrow{A_0}(\overrightarrow{r})$  — нормированная амплитуда поля согласно формуле (15);  $\psi(t)$  - случайная функция.

На (Рис. 47) приведен пример распределения интенсивности в фокусе, рассчитанного с использованием приведенного в предыдущих разделах аппарата скалярной теории. Экспериментальные данные распределения интенсивности в фокусе приведены на (Рис. 48). Характерно то же наличие множества пиков в распределении интенсивности, что свидетельствует о правильном представлении об излучении Nd — лазера как о поле, модель которого описана выше. Для распределения поля в фокусе характерно наличие множества пиков интенсивности. На основании статистического сравнения экспериментальных распределений с расчетными выведены формулы (52) и (53) для распределения полей и сконструирована модель волнового пакета. Рассмотренная модель распределения электромагнитного поля в волновом пакете фокусируемого импульсного лазерного излучения многомодового неодимового лазера полезна для анализа процессов нагрева и ускорения электронов в корональной области лазерной плазмы, образующейся при нагреве твердотельной мишени. Полученные в данной работе аналитические выражения для структуры полей в фокальной области использовались в работе [12] для расчета функции распределения релятивистских электронов в лазерной плазме при стохастическом нагреве.

## Приложение А.

Объяснение структуры распределения  $E_x(x=0,y,z)$  продольной компоненты поля в случае линейной поляризации падающего излучения.

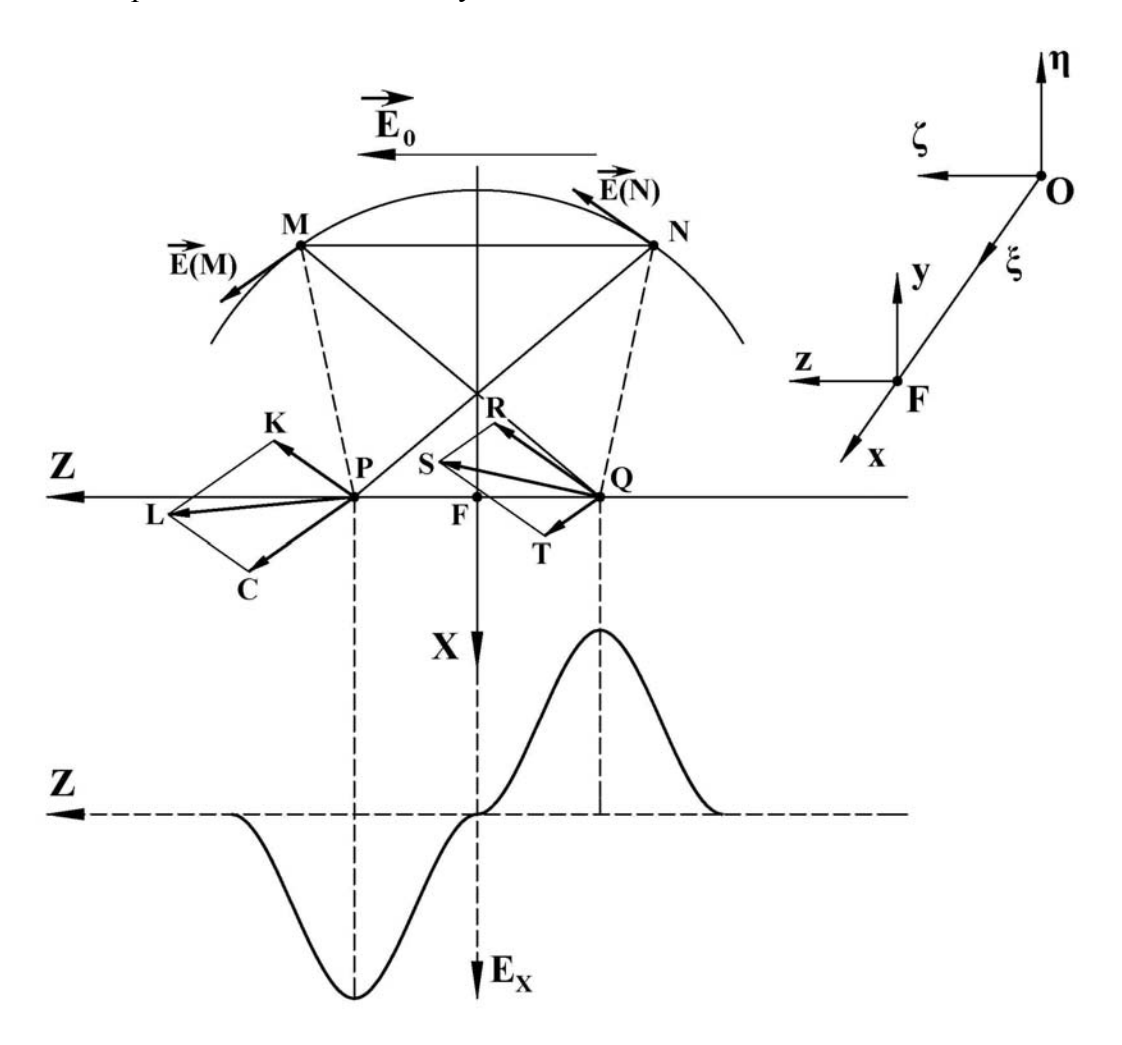


Рис. A-1. Сечение сферического волнового фронта, сформированного линзой, плоскостью  $\zeta O \xi$ 

Рассмотрим сечение сферического волнового фронта, сформированного линзой, плоскостью  $\zeta O \xi$  (рис. A-1). Выберем на волновом фронте точки М и N, симметричные относительно оси  $O \xi$ . Падающее излучение поляризовано вдоль оси  $O \zeta$ : вектор  $\vec{E}_0$  на рис. A-1. Идеальная линза преобразует (поворачивает) вектор  $\vec{E}_0$  так, что в точках М и N он будет направлен по касательной к окружности  $\Sigma$ .

Далее, выберем в фокальной плоскости ZY две точки, симметричные относительно оси ОХ, которые принадлежат оси ОZ:  $P(x=0,y=0,+z_0)$  и  $Q(x=0,y=0,-z_0)$ , где  $z_0\cong \lambda$ . Найдем результирующий вектор электрического поля  $\vec{E}$  в точках P и Q. Для этого найдем векторную сумму напряженностей от вторичных источников M и N в выбранных точках фокальной плоскости.

В точке P: поле от вторичного источника N обозначим  $\overrightarrow{PK}$ .  $\overrightarrow{PK}||\overrightarrow{E}(N), |\overrightarrow{PK}| < |\overrightarrow{E}(N)|$  (т.к. рассматриваются сферические волны от вторичных источников, амплитуда которых убывает как  $\frac{1}{r}$ ). Поле от вторичного источника M обозначим  $\overrightarrow{PC}$ .  $\overrightarrow{PC}||\overrightarrow{E}(M), |\overrightarrow{PC}| < |\overrightarrow{E}(M)|$  и, кроме того,  $|\overrightarrow{PC}| > |\overrightarrow{PK}|$ , т.к. MD < NP. Результирующий вектор напряженности поля  $\overrightarrow{PL}$  будет иметь положительную проекцию на ось OX (см. рис. A-1).

Совершенно аналогичные рассуждения для точки Q приводят к выводу о том, что проекция результирующего вектора напряженности поля  $\overrightarrow{QS}$  на ось OX будет отрицательной.

В точке F проекция результирующего вектора электрического поля на ось ОХ будет равна нулю, т.к. MF = NF. Структура распределения  $E_x(z)$  показана на рис. A-1 внизу.

# Приложение Б

Объяснение структуры распределения  $E_y(x=0,y,z)$  (компонента поля, перпендикулярная направлению поляризации) в случае линейной поляризации падающего излучения.

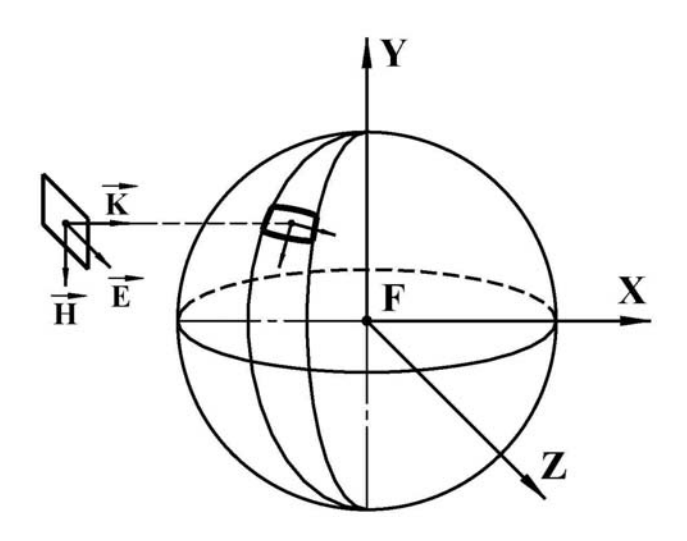


Рис. Б-1. Преломление электромагнитной волны на линзе

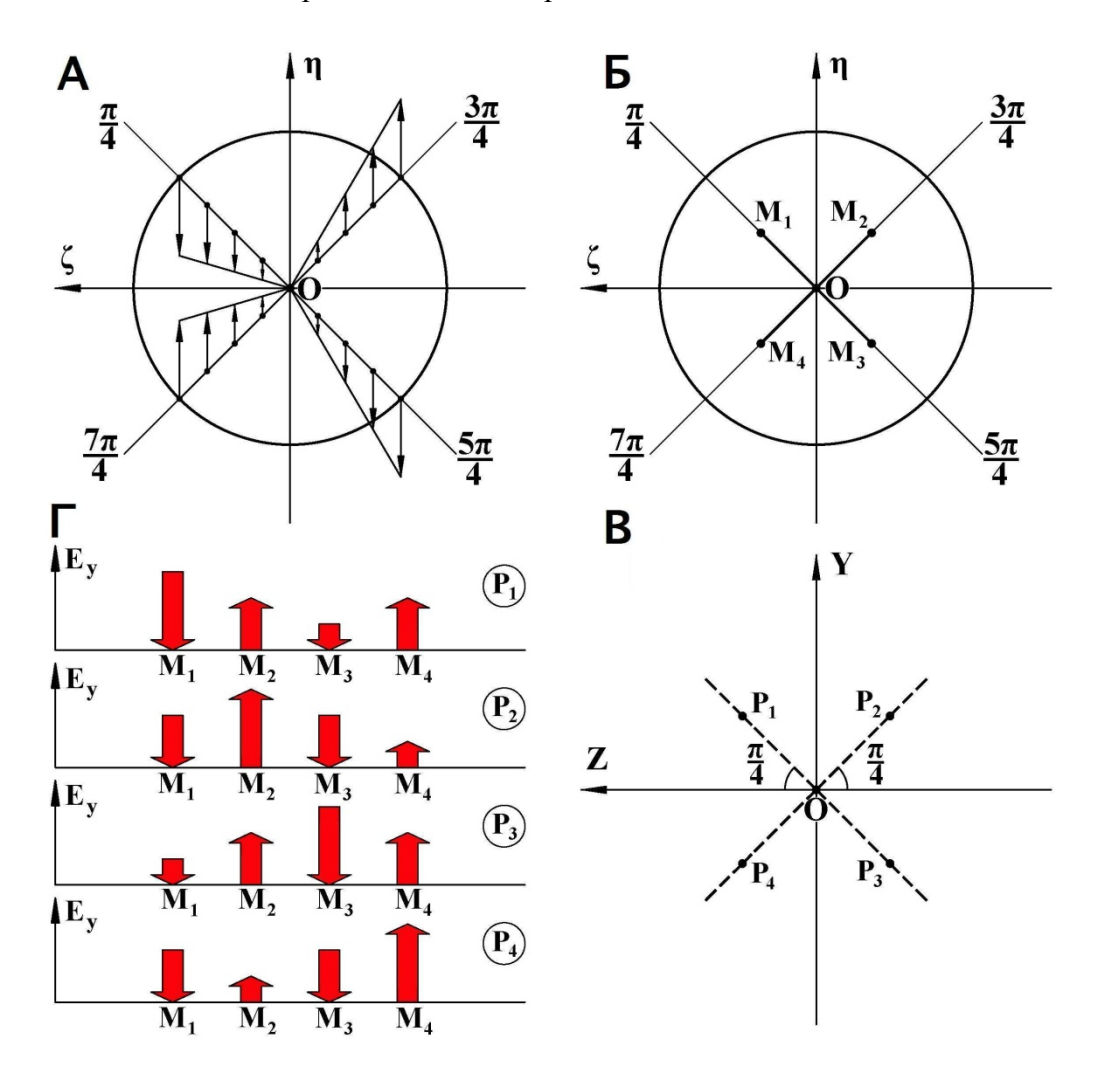


Рис. Б-2. К объяснению наличия четырех пиков в распределении поля

Идеальная линза преобразует плоский фронт падающего излучения в сферический, в каждой точке которого вектор напряженности  $\vec{E}$  имеет различные проекции на оси X, Y и Z (Рис. Б-1.). Выясним, в каких точках сферического волнового фронта проекция  $E_y$  имеет максимальное и минимальное значения.

После преломления линзой вектор  $\vec{E}_0 = \begin{pmatrix} 0 \\ 0 \\ E_0 \end{pmatrix}$  преобразуется в

$$\vec{E} = \begin{pmatrix} E_0 \cdot sin\theta \cdot cos\varphi \\ E_0 \cdot (cos\theta - 1) \cdot \frac{sin2\varphi}{2} \\ E_0 \cdot (cos\theta + (1 - cos\theta) \cdot sin^2\varphi) \end{pmatrix}.$$
 Исследуем функцию  $E_y(\varphi, \theta) = E_0 \cdot (cos\theta - 1) \cdot \frac{sin2\varphi}{2}$  на

экстремум.  $\theta \in [\theta_{min}, \theta_{max}]$ , где  $\theta_{min} = 0$ ,  $\theta_{max} = \arcsin \frac{D}{2F}(D, F - \text{диаметр и фокус линзы соот-ветственно}); <math>\phi \in [0, 2\pi]$ .

$$\begin{cases} \frac{\partial E_{y}(\varphi,\theta)}{\partial \varphi} = 0 \\ \frac{\partial E_{y}(\varphi,\theta)}{\partial \theta} = 0 \end{cases} \Rightarrow \begin{cases} E_{0} \cdot (\cos\theta - 1) \cdot \cos 2\varphi = 0 \\ E_{0} \cdot (-\sin\theta) \cdot \frac{\sin 2\varphi}{2} = 0 \end{cases} \Rightarrow \begin{cases} \varphi = \frac{\pi}{4} + \frac{\pi \cdot n}{2}, n \in \mathbb{Z} \\ \theta = 2\pi \cdot k, k \in \mathbb{Z} \end{cases}.$$

Таким образом, экстремальные значения  $\varphi$  суть  $\frac{\pi}{4}$ ,  $\frac{3\pi}{4}$ ,  $\frac{5\pi}{4}$ ,  $\frac{7\pi}{4}$ . В точках  $[\varphi = \frac{\pi}{4}, \theta = \theta_{max}]$  и  $[\varphi = \frac{5\pi}{4}, \theta = \theta_{max}]$   $E_y$  принимает минимальные значения, а в точках  $[\varphi = \frac{3\pi}{4}, \theta = \theta_{max}]$  и  $[\varphi = \frac{7\pi}{4}, \theta = \theta_{max}]$  – минимальные (рис. Б-2 a).

Выберем на сферическом волновом фронте точки  $M_1, M_2, M_3, M_4$  так, чтобы они принадлежали, соответственно, прямым  $\varphi_1 = \frac{\pi}{4}$ ,  $\varphi_2 = \frac{3\pi}{4}$ ,  $\varphi_3 = \frac{5\pi}{4}$ ,  $\varphi_4 = \frac{7\pi}{4}$  и были равноудалены от начала системы координат  $\zeta O \eta$  (рис. Б-2  $\delta$ ). В фокальной плоскости YFZ также выберем четыре точки  $P_1, P_2, P_3, P_4$ , принадлежащие, соответственно, прямым  $\varphi_1 = \frac{\pi}{4}$ ,  $\varphi_2 = \frac{3\pi}{4}$ ,  $\varphi_3 = \frac{5\pi}{4}$ ,  $\varphi_4 = \frac{7\pi}{4}$  и равноудаленных от точки F (рис. Б-2  $\delta$ ). Найдем результирующее поле в каждой из точек  $P_1, P_2, P_3, P_4$  от источников вторичных волн  $M_1, M_2, M_3, M_4$ .

В точках  $M_1$ ,  $M_2$ ,  $M_3$ ,  $M_4$  для проекции поля  $E_{\mathcal{Y}}$  справедливы соотношения (рис. Б-2 a):

$$E_{y}(M_{1}) < 0$$
;  $E_{y}(M_{2}) < 0$ ;  $E_{y}(M_{3}) > 0$ ;  $E_{y}(M_{4}) > 0$ ;

$$|E_{y}(M_{1})| = |E_{y}(M_{2})| = |E_{y}(M_{3})| = |E_{y}(M_{4})|.$$

Учитывая, что амплитуда сферической волны убывает как  $\frac{1}{r}$  и устанавливая для каждой расчетной точки Р соотношения между расстояниями  $M_i P_k$  ( $i = \overline{1,4}, k = \overline{1,4}$ ) (например, для  $P_1$ :

 $M_1P_1 << M_2P_1 = M_3P_1 < M_4P_1$  (Рис. Б-2-б, в)), находим в точках  $P_k$  значения  $(E_y)_i$   $(i=\overline{1,4})$ , создаваемые каждым источником вторичных волн  $M_i$ . На (Рис. ZZ-г) условно показаны соотношения между  $(E_y)_i$  от каждой из точек  $M_i$ .

Из результатов, изображенных на рис. Б-2  $\varepsilon$ , следует, что в точках  $P_1$  и  $P_3$  значение  $E_y$  (суммарной, от всех источников  $M_i$ ) одинаковы. То же справедливо для точек  $P_2$  и  $P_4$ . Таким образом, максимумы в распределении  $E_y(x=0,y,z)$ , расположенные вдоль прямых  $\varphi_1=\frac{\pi}{4}$  и  $\varphi_3=\frac{5\pi}{4}$  будут синфазны; максимумы, расположенные вдоль прямых  $\varphi_2=\frac{3\pi}{4}$  и  $\varphi_4=\frac{7\pi}{4}$  также будут синфазны. Причем максимумы, расположенные вдоль прямых  $\varphi_1=\frac{\pi}{4}$  и  $\varphi_3=\frac{5\pi}{4}$  противофазны максимумам, расположенным вдоль прямых  $\varphi_2=\frac{3\pi}{4}$  и  $\varphi_4=\frac{7\pi}{4}$ .

# ПриложениеВ

## Пределы применимости иограничения методов расчета.

## Метод Кирхгофа.

- 1. Скалярный характер метода: компоненты вектора напряженности поля считаются независимыми (не принимается во внимание условие  $div\vec{E}=0$ ), рассчитываются по отдельности, затем из них составляется вектор напряженности поля.
- 2. Математические допущения, сделанные при выводе окончательной формулы:  $k \cdot R \gg 1$ , где  $k = \frac{2\pi}{\lambda}$ , R расстояние от точки M на волновом фронте до расчетной точки P. Кроме того, интегрирование проводится не по замкнутой поверхности (как того требует вторая теорема Грина, из которой выводится окончательная формула Кирхгофа), а по волновому фронту падающей волны.
- 3. Физические допущения: излучение монохроматично, граничные условия на апертуре имеют вид:  $\vec{U}(\vec{R}) = \begin{cases} \vec{U}(M) \cdot \frac{e^{-i \cdot k \cdot r}}{r} \text{, } s \text{ } npedenax \text{ } omsepcmus \\ 0 \text{ , } sa \text{ } npedenamu \text{ } omsepcmus \end{cases}$ , т.е. предполагается, что поле не возмущено токами, индуцированными полем на экране, что справедливо при  $k \cdot a \gg 1$ , где a- линейный размер апертуры.

#### Метод Дебая.

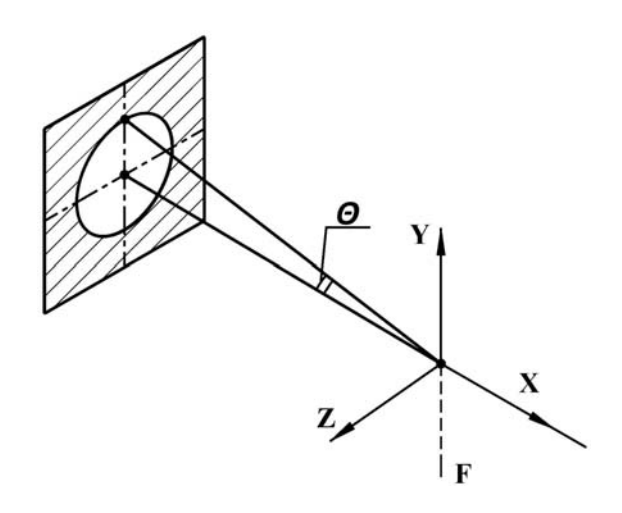


Рис. В-1. Пояснения к пределу применимости метода Дебая

В работе [3] показано, что при условии  $k \cdot f \gg \frac{\pi}{\sin^2(\frac{\theta}{2})}$ , (где  $k = \frac{2\pi}{\lambda}$ ,  $\theta$  – апертурный угол) интеграл Дебая (17) является решением уравнения Гельмгольца  $\nabla^2 U(\vec{R}) + k^2 \cdot U(\vec{R}) = 0$  и удовлетворяет на апертуре граничным условиям вида  $\vec{U}(\vec{R}) = \begin{cases} \vec{U}(M) \cdot \frac{e^{-i \cdot k \cdot r}}{r} , & \text{в пределах отверстия} \\ 0, & \text{за пределами отверстия} \end{cases}$ . Решение представляет собой расходящуюся сферическую волну на бесконечности в полупространстве x > 0 (рис. В-1).

Работа выполнена при поддержке РФФИ (грант №08-02-00913-а)

#### ЛИТЕРАТУРА

- 1. Yu.A. Mikhailov, M.A. Grechko, O.A. Zhitkova, M.A. Zhurivich, A.V. Koutsenko, I.G. Lebo, J. Limpouch, A.A. Matsveiko, V.B. Rozanov, G.V. Sklizkov, A.N. Starodub, V.F. Tishkin, and A.M. Chekmarev, Effect of a prepulse on ablation-pressure smoothing in laser heating of thin foils // Journal of Russian Laser Research. 2007. V.28. N.4. P.310-319.
- 2. М.А. Журович, О.А. Житкова, И.Г. Лебо, Ю.А. Михайлов, Г.В. Склизков, А.Н. Стародуб, В.Ф. Тишкин Выравнивание абляционного давления в короне лазерной плазмы при нагреве мишеней для ЛТС // Квантовая электроника. − 2009. − Т. 39. №6. − С. 531-536.
- 3. Yu.A. Mikhailov, L.A. Nikitina, G.V. Sklizkov, A.N. Starodub, and M.A. Zhurovich Stochastic heating of electrons in focused multimode laser fields // Journal of Russian Laser Research. 2007. V.28. N.4. P. 344-355.
- 4. Yu.A. Mikhailov, L.A. Nikitina, G.V. Sklizkov, A.N. Starodub, and M.A. Zhurovich Relativistic electron heating in focused multimode laser fields with stochastic phase perturbations. // Laser and Particle Beams. 2008. V.26. P. 525-536.

- 5. П.В. Конаш, И.Г. Лебо Моделирование рассеяния пучка электронов на спонтанных магнитных полях в лазерной плазме. // Квантовая электроника. 2006. №36. С. 767-772.
- 6. Wolf E., Richards B. Electromagnetic diffraction in optical systems II. Structure of the image field in an aplanatic system // Proc. R. Soc. Ser. A. 1959. P. 358 379.
- 7. Boivin A., Wolf E., Electromagnetic field in the neighborhood of the of the focus of a coherent beam // Physical Review 1965. V. 138. N. 6B. P. 1561 1565.
- 8. Wolf E., Li Y. Conditions for the validity of the Debye integral representation of focused fields // Optics Communications. 1981. V. 39. N. 4. P. 205 210.
- 9. Низьев В.Г. Дипольно волновая теория дифракции электромагнитного излучения // УФН. 2002. T. 172, № 5. C. 601 607.
- 10. М. Борн, Э. Вольф Основы оптики. Издательство "НАУКА", главная редакция физикоматематической литературы, М.:1973 г.
- 11. Л. Мандель, Э. Вольф Оптическая когерентность и квантовая оптика. М.: Наука. Физматлит, 2000.
- 12. Ю.В. Крыленко, Ю.А. Михайлов, А.С. Орехов, Г.В. Склизков, А.А. Филиппов Зависимость температуры стохастически нагреваемых электронов от плотности потока импульсного лазерного излучения на мишени // Краткие сообщения по физике ФИАН. − 2010. №28. − С. 6-7.